



OFICINA ESPAÑOLA DE PATENTES Y MARCAS

ESPAÑA



11) Número de publicación: 2 432 537

(51) Int. CI.:

A61K 45/00 (2006.01) C12N 15/09 (2006.01) A61K 31/7105 (2006.01) C12Q 1/68 (2006.01) (2006.01) **G01N 33/48** A61K 31/711 (2006.01) A61K 31/713 (2006.01) **G01N 33/53** (2006.01) A61K 38/43 A61K 45/06 A61K 48/00 (2006.01) A61P 35/00 (2006.01) A61P 35/02 (2006.01)

(2006.01)

(12)

TRADUCCIÓN DE PATENTE EUROPEA

A61P 43/00

T3

- (96) Fecha de presentación y número de la solicitud europea: 27.08.2009 E 09809573 (0) (97) Fecha y número de publicación de la concesión europea: EP 2322224
- (54) Título: Pronóstico de cánceres de colon
- (30) Prioridad:

01.09.2008 JP 2008223461

(45) Fecha de publicación y mención en BOPI de la traducción de la patente: 04.12.2013

(73) Titular/es:

NATIONAL UNIVERSITY CORPORATION **NAGOYA UNIVERSITY (100.0%)** 1 Furo-cho Chikusa-ku Nagoya-shi Aichi 464-8601, JP

(72) Inventor/es:

TAKAHASHI, MASAHIDE; KATO, TAKUYA y KIKKAWA, FUMITAKA

(74) Agente/Representante:

PONTI SALES, Adelaida

DESCRIPCIÓN

Pronóstico de cánceres de colon.

CAMPO TÉCNICO

[0001] La presente invención se refiere a un procedimiento para estimar el pronóstico de pacientes con cáncer 5 y el uso del mismo.

ANTECEDENTES DE LA TÉCNICA

[0002] Las histona desacetilasas (HDAC) participan en la carcinogénesis regulando la proliferación, diferenciación y supervivencia celular (bibliografía no patente 1 y 2). Los inhibidores de las HDAC (HDACi) han mostrado un profundo efecto sinérgico en el tratamiento del cáncer cuando se combinan con otros fármacos 10 antineoplásicos (bibliografía no patente 2 y 3). No obstante, los mecanismos moleculares por los que se induce este sinergismo tras la adición de un HDACi no se conocen por completo.

[0003] Estudios sistemáticos *in vitro* han revelado que los HDACi pueden inducir la parada del crecimiento celular, la diferenciación terminal y/o la inhibición de la angiogénesis en células transformadas sin que se vean afectadas las células normales (bibliografía no patente 2, 3 y 5). Atendiendo a estos resultados *in vitro*, actualmente se están probado varios HDACi en ensayos clínicos y uno de estos inhibidores, el ácido hidroxámico suberoilanilida (SAHA) ha sido aprobado por la FDA para el tratamiento del linfoma cutáneo de células T (bibliografía no patente 4 y 5). Los HDACi también han mostrado efectos sinérgicos o aditivos con una amplia variedad de reactivos antineoplásicos (bibliografía no patente 2 y 4). Asimismo, se sabe que la citotoxicidad de los fármacos quimioterapéuticos, como cisplatino, etopósido, 5-FU y doxorrubicina, se consigue en parte generando especies de 20 oxígeno reactivas (ROS, por sus siglas en inglés) (bibliografía no patente 6 a 9). En consonancia con estos resultados, la alteración de antioxidantes y su expresión génica relacionada modulan la resistencia a los fármacos quimioterapéuticos, probablemente a través de su capacidad de eliminación de ROS (bibliografía no patente 10 a 13). Este hecho respalda que la inducción de ROS por los fármacos quimioterapéuticos es importante para la citotoxicidad.

25 [Lista de citas]

[Bibliografía no patentes]

[0004]

[Bibliografía no patente 1] Yang, XJ. y Seto, E. The Rpd3/Hdal family of lysine deacetylases: from bacteria and yeast to mice and men. Nat Rev Mol Cell Biol. 9(3):206-18 (2008)

30 [Bibliografía no patente 2] Bolder, JE., Peart, MJ. y Johnstone, RW. Anticancer activities of histone deacetylase inhibitors. Nat Rev Drug Discov. 5(9):769-84 (2006).

[Bibliografía no patente 3] Minucci, S. y Pelicci, PG. Histone deacetylase inhibitors and the promise of epigenetic (and more) treatments for cancer. Nature Reviews Cancer. 6(1):38-51 (2006).

[Bibliografía no patente 4] Xu, WS., Parmigiani, RB. y Marks, PA. Histone deacetylase inhibitors: molecular 35 mechanisms of action. Oncogene. 26(37):5541-52 (2007).

[Bibliografía no patente 5] Marks, PA. y Breslow, R. Dimethyl sulfoxide to vorinostat: development of this histone deacetylase inhibitor as an anticancer drug. Nature Biotechnology. 25(1):84-90 (2007).

[Bibliografía no patente 6] Miyajima, A. y col. Role of reactive oxygen species in cis-dichlorodiammineplatinum-induced cytotoxicity on bladder cancer cells. Br J Cancer. 76(2):206-10 (1997).

40 [Bibliografía no patente 7] Kurosu, T., Fukuda, T., Miki, T. y Miura, O. BCL6 overexpression prevents increase in reactive oxygen species and inhibits apoptosis induced by chemotherapeutic reagents in B-cell lymphoma cells. Oncogene. 22(29):4459-68 (2003).

[Bibliografía no patente 8] Hwang, IT. y col. Drug resistance to 5-FU linked to reactive oxygen species modulator 1. Biochem Biophys Res Commun. 359(2):304-10 (2007).

45 [Bibliografía no de patentes 9] Ravid, A. y col. 1,25-Dihydroxyvitamin D3 enhances the susceptibility of breast cancer cells to doxorubicin-induced oxidative damage. Cancer Res. 59(4):862-7 (1999).

[Bibliografía no patente 10] Godwin, AK. y col. High resistance to cisplatin in human ovarian cancer cell lines is associated with marked increase of glutathione synthesis. Proc Natl Acad Sci U S A. 89(7):3070-4 (1992).

[Bibliografía no patente 11] Yokomizo, A. y col. Cellular levels of thioredoxin associated with drug sensitivity to

cisplatin, mitomycin C, doxorubicin and etoposide. Cancer Res. 55(19):4293-6 (1995).

[Bibliografía no patente 12] Sasada, T. y col. Redox control of resistance to cis-diamminedichloroplatinum (II) (CDDP): protective effect of human thioredoxin against CDDP-induced cytotoxicity. J Clin Invest. 97(10):2268-76 (1996).

5 [Bibliografía no patente 13] Powis, G. y Kirkpatrick, DL. Thioredoxin signaling as a target for cancer therapy. Curr Opin Pharmacol. 7(4):392-7 (2007).

[Bibliografía no patente 14] Halkidou K, Gaughan L, Cook S, Leung HY, Neal DE, Robson CN. (2004). Upregulation and nuclear recruitment of HDAC1 in hormone refractory prostate cancer. Prostate 59: 177-189

[Bibliografía no patente 15] Glozak MA, Seto E. (2007). Histone deacetylases and cancer. Oncogene 26: 5420-5432

10 [Bibliografía no patente 16] Takahashi M, Inaguma Y, Hiai H, Hirose F. (1988). Developmentally regulated expression of a human "finger"-containing gene encoded by the 5' half of the ret transforming gene. Mol Cell Biol. 4:1853-6

[Bibliografía no patente 17] Tezel, G. y col. M. (1999). Different nuclear/cytoplasmic distributions of RET finger protein in different cell types. Pathol. Int. 49: 881-886

[Bibliografía no patente 18] Takahashi, M. y Cooper, G. M.: ret transforming gene encodes a fusion protein 15 homologous to tyrosine kinases. Mol. Cell. Biol. 7, 1378-1385 (1987)

[Bibliografía no patente 19] Shimono, Y, Murakami, H., Hasegawa, Y. y Takahashi, M.: RFP is a transcriptional repressor and interacts with enhancer of polycomb that has dual transcriptional functions. J. Biol Chem. 275: 39411-39419. (2000)

[Bibliografía no patente 20] Shimono, Y., Murakami, H., Kawai, K., Wade, P.A., Shimokata, K. y Takahashi, M.: Mi-2 associates with BRG1 and RET finger protein at the distinct regions with transcriptional activating and repressing abilities. J. Biol. Chem. 278: 51638-51645 (2003)

[Bibliografía no patente 21] Shimono, K., Shimono, Y., Shimokata, K., Ishiguro, N., y Takahashi, M.: Microspherule protein 1, Mi-2β, and RET finger protein associate in the nucleolus and up-regulate ribosomal gene transcription. J. Biol. Chem. 280: 39436-39447 (2005)

25 [Descripción de la invención]

[Problema técnico]

[0005] A menudo se usan diversos fármacos antineoplásicos en combinación para el tratamiento del cáncer. Aunque el uso combinado de fármacos antineoplásicos se lleva a cabo con la intención de mejorar el efecto terapéutico, en ocasiones puede conllevar efectos adversos graves. Esto es debido a que muchos de los fármacos antineoplásicos usados actualmente van dirigidos a células que proliferan rápidamente y, por tanto, ejercen su toxicidad sobre células normales distintas de las células cancerosas.

[0006] Considerando los antecedentes mencionados más arriba, un objeto es proporcionar medios para potenciar la acción de un fármaco antineoplásico o proporcionar un biomarcador útil para conocer el pronóstico de pacientes con cáncer y el uso de los mismos, así como contribuir a mejorar el resultado clínico del tratamiento del 35 cáncer.

[Solución al problema]

[00071 Hasta la fecha, se ha mostrado que los HDACi alteran la expresión de la tiorredoxina y de TBP-2 regulando el estado de oxidación de las células. Desde el punto de vista de este hecho, los presentes inventores han generado la hipótesis de que el HDACi regula el mecanismo antioxidante en las células, lo que hace a las células 40 cancerosas sensibles a un fármaco antineoplásico. Para verificar la hipótesis, los presentes inventores se han centrado y estudiado exhaustivamente HDAC1 y RFP (RET finger protein). Las características de HDAC1 son: 1) tiene una alta expresión en tumores humanos y 2) regula la proliferación, diferenciación y supervivencia de las células (Halkidou K, Gaughan L, Cook S, Leung HY, Neal DE, Robson CN. (2004). Upregulation and nuclear recruitment of HDAC1 in hormone refractory prostate cancer. Prostate 59: 177-189 (documento no patente 14); 45 Glozak MA, Seto E. (2007). Histone deacetylases and cancer. Oncogene 26: 5420-5432 (documento no patente 15)). En la solicitud de patente de EE. UU. n.º 2004/146921 A1 se describe RFP como uno de los genes encontrado en experimentos con micromatrices como posible biomarcador del cáncer de colon. Es concebible usar los ensayos de diagnóstico también como ensayos de pronóstico, aunque, en relación general con los datos completos generados en el ensayo de micromatrices, con los ejemplos dirigidos solo al aspecto diagnóstico y sin consideración 50 específica hacia RFP, no hay especificaciones en particular relativas a la regulación por incremento de RFP a este respecto. Las características de RFP son: 1) tiene una alta expresión en una línea de células cancerosas; 2) su expresión en organismos vivos es localizada (Takahashi M, Inaguma Y, Hiai H, Hirose F. (1988). Developmentally regulated expression of a human "finger"-containing gene encoded by the 5' half of the ret transforming gene. Mol Cell Biol. 4:1853-6 (documento no patente 16); Tezel, G. y col. M. (1999). Different nuclear/cytoplasmic distributions of RET finger protein in different cell types. Pathol. Int. 49: 881-886 (documento no patente 17)) y 3) los ratones que no expresan este gen (ratones *knockout*) no presentan un fenotipo de afecciones graves (datos no publicados). 5 Como consecuencia, se ha descubierto que HDAC1 reduce la expresión de la proteína de unión a tiorredoxina-2 (TBP-2), acelerando así la resistencia de las células cancerosas al estrés oxidativo. Asimismo, se ha observado que HDAC1 es reclutado al promotor del gen TBP-2 por un complejo proteico compuesto por RFP y un factor de transcripción NF-Y. Además, la supresión de la expresión de RFP usando ARNi provoca la disgregación del complejo proteico, dando lugar a un aumento considerable de la sensibilidad de las células cancerosas al cisplatino 10 (que también es un fármaco antineoplásico inductor del estrés oxidativo). Estos hechos revelan que RFP es un importante factor de regulación que permite a las células cancerosas aumentar su resistencia a un fármaco antineoplásico y sugiere que la supresión de la expresión o la función de RFP potencia la acción de un fármaco antineoplásico, mejorando así el resultado clínico del tratamiento del cáncer.

[0008] Por otro lado, se ha observado que la alta expresión de RFP se correlaciona con la disminución de la expresión de TBP-2 en el carcinoma de colon humano o con el pronóstico desfavorable en pacientes con carcinoma de colon. Esto respalda la eficacia de la estrategia terapéutica de la supresión de la expresión o la función de RFP cuando se usan fármacos antineoplásicos y significa que se puede determinar la resistencia a los fármacos antineoplásicos examinando el nivel de expresión de RFP en las células cancerosas y la determinación de los resultados constituye una información útil que contribuye a determinar la política de tratamiento (selección del método terapéutico eficaz y similares), mejorando el pronóstico y la calidad de vida (CdV) de los pacientes. Como resultado de una investigación más profunda, se ha descubierto que la expresión de RFP se correlaciona con un pronóstico desfavorable en pacientes con cáncer de endometrio. Curiosamente, se han obtenido los siguientes resultados: cuando se observa una elevada expresión de RFP, el empleo de operaciones quirúrgicas más agresivas conllevan la mejora del pronóstico. Como se mencionó anteriormente, se ha demostrado que RFP es útil como biomarcador (indicador) para estimar el pronóstico de los pacientes con cáncer. En particular, en el caso de cáncer de endometrio, se sugiere que la expresión de RFP es un indicador útil en la determinación del procedimiento quirúrgico.

[0009] La presente invención se basa principalmente en los hallazgos y resultados mencionados anteriormente y que incluyen los siguientes:

- 30 [1] Un procedimiento para estimar el pronóstico en un paciente con carcinoma de colon, en el que se usa el nivel de expresión de RFP en una célula cancerosa aislada de un paciente con cáncer como indicador y en el que además, un nivel de expresión de RFP alto indica un pronóstico desfavorable.
 - [2] Uso de un anticuerpo anti-RFP en el procedimiento según [1].

La solicitud también describe:

- 35 [12] Un reactivo para estimar el pronóstico en un paciente con cáncer, que incluye un anticuerpo anti-RFP.
 - [13] El reactivo para estimar el pronóstico según [12], en el que el cáncer es carcinoma de colon o cáncer de endometrio.
 - [14] Un kit para estimar el pronóstico en un paciente con cáncer, que incluye un reactivo según [12] o [13].
 - [15] El kit para estimar el pronóstico según [14], en el que el cáncer es carcinoma de colon o cáncer de endometrio.
- 40 [Efectos ventajosos]

[0010] El uso combinado de un agente potenciador de la acción mejora la acción de fármacos antineoplásicos, como el cisplatino, que tienen capacidad para inducir el estrés oxidativo. Esto puede reducir la cantidad de fármaco antineoplásico que se tiene que usar o de los tipos de fármacos antineoplásicos (en los casos en los que se usan dos o más tipos de fármacos antineoplásicos en combinación). Además, los resultados clínicos del tratamiento 45 pueden mejorar.

[Breve descripción de los dibujos]

[0011]

[Fig. 1] Asociación funcional entre HDAC1 y RFP. (a) Efecto del tratamiento con HDAC1 sobre la sensibilidad celular al estrés oxidativo. Se trataron células HeLa durante 10 h con las dosis indicadas de H₂O₂ con o sin pretratamiento con TSA (500 nM) durante 3 h. Se determinó la viabilidad de las células mediante un ensayo WST-1 y se definió el índice de supervivencia celular del grupo no tratado como 1. (b) Reducción de la expresión endógena de HDAC1 mediada por ARN interferente pequeño (ARNip) en células HeLa. Se analizó el lisado celular total de células HeLa transfectadas con ARNip de *HDCA1* o control mediante inmunotransferencia con anticuerpos anti-HDAC1. Se uso anti-β-actina como control de la carga. Se observó supresión de la expresión de HDAC1 en las células en la que se

había introducido HDAC1ip. (**c**), (**d**) Células HeLa transfectadas con ARNip de *HDAC1* o control y tratadas con las dosis indicadas de H₂O₂ (10 h) en **c** y cisplatino (24 h) en **d**. Se determinó la viabilidad celular y se calculó como se describe en **a**. En las células con expresión reducida de HDAC1, el grado de disminución del índice de supervivencia celular es mayor en las células tratadas que en las control. (**e**) Disminución de la expresión de RFP endógena 5 mediada por ARNip en células HeLa. Se analizaron los lisados celulares totales de células HeLa transfectadas con ARNip de *RFP* o control mediante inmunotransferencia con anticuerpos anti-RFP y anti-β-actina. Se observó supresión de la expresión de RFP en las células en las que se había introducido RFPip. (**f**), (**g**) Células HeLa transfectadas con ARNip de *RFP* o control y tratadas con las dosis indicadas de H₂O₂ (10 h) en **f** y cisplatino (24 h) en **g**. Se determinó la viabilidad celular y se calculó como se describe en **a**. En las células tratadas que en las control.

[Fig. 2] Identificación de los dominios de unión entre HDAC1 y RFP. (a) HDAC1 interacciona con RFP. Las células HEK293 se cotransfectaron de forma transitoria con HDAC1-V5 y Flag-RFP. Los lisados celulares se inmunoprecipitaron con un anticuerpo anti-V5 (panel superior) o anti-Flag (panel inferior) y los inmunoprecipitados se analizaron mediante inmunotransferencia con los anticuerpos indicados. Como control se usaron anticuerpos anti-15 HA. (b) Se inmunoprecipitaron HDAC1 y RFP endógenas con anticuerpos anti-HDAC1 (panel superior) y anti-RFP (panel inferior), respectivamente. Los inmunoprecipitados se analizaron mediante inmunotransferencia con anticuerpos anti-HDAC1 y anti-RFP. (c) Dominio de RFP necesario para la asociación entre HDAC1 y RFP. Panel izquierdo: representación esquemática de las construcciones de RFP. Se indican el dominio dedo de cinc tipo anillo caja B, superhélice y Rfp. Los fragmentos de ADNc correspondientes a los dominios indicados de RFP están 20 etiquetados con Flag. Panel derecho; las células HEK293 se cotransfectaron transitoriamente con las construcciones con deleción HDAC1-V15 y RFP etiquetado con Flag y se inmunoprecipitaron con anticuerpos anti-V5 seguido por inmunotransferencia con anticuerpos anti-Flag o anti-V5. El vector pFlag se usó como control. (d) Región de HDCA1 necesaria para la asociación entre HDAC1 y RFP. Panel izquierdo: representación esquemática de las construcciones de HDAC1. Los fragmentos de ADNc correspondientes a las regiones indicadas de HDAC1 se 25 etiquetaron con V5. Las células HEK293 se cotransfectaron transitoriamente con las construcciones con deleción de Flag-RFP y HDAC1 etiquetado con V15 y se inmunoprecipitaron con anticuerpos anti-Flag seguido por inmunotransferencia con anticuerpos anti-V5 o anti-Flag. Las puntas de flecha indican los fragmentos coinmunoprecipitados. El vector pcDNA se usó como control.

[Fig. 3] TBP-2 es una diana común de HDAC1 y RFP y es responsable de la sensibilización de las células 30 cancerosas al H₂O₂ y al cisplatino. (a), (b) La disminución de la expresión de HDCA1 o RFP causa el aumento de la expresión de TBP-2. Las células HeLa se transfectaron con ARNip de HDAC1, RFP o control. Los niveles de expresión de HDAC1, RFP o TBP-2 en estas células se analizaron mediante RT-PCR en a y mediante inmunotransferencia en b. Tanto en la RT-PCR como en la inmunotransferencia se observó un aumento de la expresión de TBP-2 mediante la reducción de la expresión de HDAC1 o RFP. (c) Sobreexpresión de TBP-2 en 35 células HeLa. Las células HeLa fueron transfectadas con TBP-2-V5 y la expresión de TBP-2-V5 se detectó mediante inmunotransferencia. (d), (e) Efecto de la sobreexpresión de TBP-2 sobre la sensibilidad de las células a H₂O₂ y cisplatino. Las células HeLa transfectadas con TBP-2-V5 y tratadas durante 10 h con H₂O₂ en **d** o durante 24 h con cisplatino en e. La viabilidad celular se determinó mediante un ensayo WST-1 y el índice de supervivencia celular del grupo sin tratamiento se definió como 1. Se muestran los valores relativos con respecto a 1, el índice de 40 supervivencia celular cuando no se llevó a cabo el tratamiento con H₂O₂ o cisplatino En células con sobreexpresión de TBP-2, el grado de disminución del índice de supervivencia celular es mayor en las células tratadas que en las células control. (f) Las células HeLa se transfectaron con ARNip de HDAC1, RFP, TBP-2 o control. Los lisados celulares totales se analizaron mediante inmunotransferencia. Se muestra que la expresión de TBP-2 que se ha aumentado mediante la disminución de la expresión de HDAC1 o RFP se suprimía mediante TBP-2ip. (g), (h) Las 45 células HeLa se transfectaron como se describe en f. Las células se trataron durante 10 h con H₂O₂ (g) o durante 24 h con cisplatino (h). La viabilidad celular se midió y calculó como se describe en d, e. El índice de supervivencia celular en el momento en que se administran los fármacos, el cual se ha reducido mediante la disminución de la expresión de HDAC1 o RFP, se disuelve parcialmente por la disminución de la expresión de TBP-2.

[Fig. 4] HDAC1 y RFP regulan la expresión de *TBP-2* y afectan a la sensibilidad celular al H₂O₂ y al cisplatino en líneas celulares de cáncer de colon y de mama. (a) Se transfectaron células de cáncer de colon (SW480, HT-29) y de mama (MDA-MB-231) con ARNip de *HDCA1*, *RFP* o control. Los lisados celulares totales se sometieron a inmunotransferencia. Se observó que cuando se reducía la expresión de HDAC1 y RFP en cada una de las líneas celulares, la expresión de TBP-2 aumentaba. (b), (c) Las células se transfectaron con ARNip de *HDAC1*, *RFP* o control y se trataron durante 10 h con H₂O₂ en b o durante 24 h con cisplatino en c. La viabilidad celular se determinó mediante un ensayo WST-1 y el índice de supervivencia celular del grupo sin tratamiento se definió como 1. En las células con expresión reducida de HDAC1 o RFP, el grado de disminución del índice de supervivencia celular es mayor en las células tratadas que en las células control.

[Fig. 5] RFP recluta HDAC1 al promotor de *TBP-2* a través de la interacción con NF-YC. (a) El panel superior muestra una representación esquemática del promotor de *TBP-2*. Se indican dos regiones usadas para el análisis 60 ChIP (proximal y distal). El panel inferior muestra que HDAC1 y RFP son reclutados al promotor de *TBP-2*. La cromatina entrecruzada se inmunoprecipitó usando los anticuerpos indicados. Se usó la PCR para detectar dos regiones del promotor de *TBP-2* con cebadores correspondientes a las secuencias proximal y distal. «Entrada»

representa la amplificación por PCR del ADN de entrada total. (b) RFP recluta HDAC1 al promotor de TBP-2, que desacetila las histonas H3 y H4. La cromatina entrecruzada de las células NC1hc y RFP30hc se inmunoprecipitó usando los anticuerpos indicados. La PCR se llevó a cabo como se describe en a. (c) RFP interacciona con NF-YC. Las células HEK293 se cotransfectaron de forma transitoria con Flag-RFP y NF-YC-V5. Los lisados celulares se 5 inmunoprecipitaron con anticuerpos anti-V5 (panel superior) o anti-Flag (panel inferior) y se analizaron mediante inmunotransferencia. Las flechas indican NF-YC-V5. Las puntas de flecha indican Flag-RFP. Como control se usaron anticuerpos anti-HA. (d) El RFP endógeno interacciona con NF-YC. Los inmunoprecipitados de las células con anti-RFP o IgG control se analizaron mediante inmunotransferencia con anticuerpos anti-RFP y anti-NF-YC. (e) Coinmunoprecipitación de HDAC1 y RFP con NF-YC. Las células HEK293 se cotransfectaron con Flag-HDAC1, 10 Flag-RFP y NF-YC-V5 y se inmunoprecipitaron con anticuerpos anti-V5; los inmunoprecipitados se analizaron mediante inmunotransferencia. Como control se usaron anticuerpos anti-HA. (f) NF-Y se une a la región proximal del promotor de TBP-2. El análisis ChIP se realizó con anticuerpos anti-NF-YB. La PCR se llevó a cabo como se describe en a. (g) Disminución de la expresión de NF-YC endógeno mediada por ARNip en células HeLa. Los lisados celulares totales de células HeLa transfectadas con ARNip de NF-YC se analizaron mediante 15 inmunotransferencia con anticuerpos anti-NF-YC. (h) NF-YC recluta HDAC1 y RFP al promotor de TBP-2. La cromatina entrecruzada de las células transfectadas con ARNip de NF-YC y control se inmunoprecipitó con anticuerpos anti-HDAC1 y anti-RFP. La PCR se realizó como se describe en **a**. (i) Representación esquemática del modelo de formación del complejo HDAC1/RFP/NF-YC sobre el promotor de TBP-2.

[Fig. 6] RFP media en la formación del complejo HDAC1/RFP/NF-YC. (a) HDAC1, RFP y NF-YC eluyen en la misma fracción en columnas de filtración en gel. Los extractos de células HeLa se separaron mediante cromatografía de filtración en gel Superose 6 y se aplicó un volumen idéntico de cada una de las fracciones a geles PAGE-SDS. Las fracciones se analizaron a continuación mediante inmunotransferencia con anticuerpos anti-HDAC1, anti-RFP y anti-NF-YC. El perfil de elución de los patrones de peso molecular se muestra en la parte superior (nulo, azul dextrano; 660 kDa, tiroglobulina; 440 kDa, ferritina; 230 kDa, catalasa). (b) La expresión de RFP potencia la formación del complejo. Las células HEK293 se cotransfectaron con NF-YC-V5, HDAC1-myc y Flag-RFP y se inmunoprecipitaron con anticuerpos anti-V5. Las muestras inmunoprecipitadas se analizaron mediante inmunotransferencia con los anticuerpos indicados. (c) La eliminación de RFP mediante ARNi altera la formación del complejo. Se cotransfectó NF-YC-V5 con ARNip de *RFP* o control en células HeLa. Los lisados celulares se inmunoprecipitaron con anticuerpos anti-V5, seguido de inmunotransferencia con los anticuerpos indicados. Como control se usaron anticuerpos anti-HA.

[Fig. 7] Oligomerización de RFP. (a) RFP forma un homooligómero. Las células HEK293 se cotransfectaron con GFP-RFP y Flag-RFP y se inmunoprecipitaron con anticuerpos anti-Flag seguido de inmunotransferencia con anticuerpos anti-Flag y anti-GFP. Como control se usaron anticuerpos anti-HA. LCT: lisados celulares totales. (b) Los dominios anillo-caja B y superhélice, pero no el dominio Rfp, de RFP eran necesarios para su oligomerización. Las células HEK293 se cotransfectaron con GFP-RFP y construcciones de deleción de RFP etiquetadas con Flag y se inmunoprecipitaron con anticuerpos anti-Flag. El vector pFlag se usó como control. Las puntas de flecha indican las construcciones de RFP etiquetadas con Flag.

[Fig. 8] RFP es una nueva diana para el tratamiento del cáncer. (a), (b), (c) La disminución de la expresión de RFP potencia la sensibilidad de los tumores al cisplatino in vivo. Se inyectó a los ratones por vía subcutánea con las 40 líneas celulares NC1hc, RFP23hc o RFP26hc. Cuando el volumen tumoral medio alcanzó al menos 50 mm³, los animales fueron asignados aleatoriamente al grupo control y a los grupos de tratamiento antes del primer tratamiento con cisplatino. Se administró por vía intraperitoneal 1 mg/kg de cisplatino o vehículo (solución salina) cada 4 días. En a se muestran fotografías de tumores representativos. Se muestra por medio de la observación visual que el volumen tumoral en el grupo de tratamiento de la línea celular con expresión reducida de RFP es considerablemente 45 más pequeño que el del grupo sin tratamiento. En b se muestra la curva de crecimiento tumoral. El crecimiento tumoral es considerablemente más lento en el grupo con tratamiento de la línea celular con expresión reducida de RFP en comparación con el grupo sin tratamiento. El volumen tumoral medio del grupo sin tratamiento (vehículo) se definió como el 100% y se comparó con el del grupo con tratamiento el día 1 y el día 21 en c. En NC1hc, el volumen tumoral era de aproximadamente el 92% con respecto al grupo sin tratamiento el día 1 y disminuyó al 77% el día 21. 50 Mientras que en RFP23hc y RFP26hc los volúmenes disminuían del 95% al 38% y del 112% al 42%, respectivamente. El efecto terapéutico del cisplatino aumentaba significativamente en el grupo en el gue se usó la línea celular con expresión reducida de RFP. (d) La expresión de RFP es representativa de los tejidos tumorales de pacientes con carcinoma de colon. El color marrón es indicativo de tinción con un anticuerpo policional anti-RFP. Cuando las células teñidas representan < 10%, se determina que son RFP-negativas y cuando las células teñidas 55 representan ≥ 10% se determina que son RFP-positivas. (e) RFP reprime la expresión de TBP-2 en pacientes con carcinoma de colon. Los tejidos tumorales se tiñeron con anticuerpo policional anti-RFP (rojo) y con anticuerpo monoclonal anti-TBP-2 (verde). Los núcleos celulares se tiñeron con DAPI (4'.6-diamino-2-fenilindol). En las células que muestran expresión de RFP se observa que la expresión de TBP-2 es baja. (f) La expresión de RFP se correlaciona con un pronóstico desfavorable en los pacientes con cáncer de colon. La supervivencia global de 115 pacientes con carcinoma de colon se estratificó según la expresión de RFP y se analizó mediante la representación de Kaplan-Meier. Un análisis de rango logarítmico mostró diferencias significativas entre los grupos RFP+ y RFP-.

[Fig. 9] Gráficas que muestran la correlación entre la expresión de RFP y el pronóstico desfavorable en el cáncer de

endometrio. Se compararon los grupos RFP-negativo y RFP-positivo entre sí en cuanto a la supervivencia global. (a) Comparación en todos los grupos de pacientes. (b) Comparación en el grupo de pacientes en estadio I. (c) Comparación en el grupo de pacientes en los estadios II a IV.

[Fig. 10] Las gráficas muestran la expresión de RFP y la diferencia de los pronósticos del cáncer de endometrio 5 dependiendo de los métodos quirúrgicos. Se compararon entre sí un grupo de pacientes que se sometió a histerectomía radical y otro grupo que se sometió a histerectomía total en cuanto a la supervivencia global. (a) Comparación en todos los grupos de pacientes. (b) Comparación en el grupo RFP-negativo. (c) Comparación en el grupo RFP-positivo.

[Fig. 11] Las gráficas muestran la expresión de RFP y la diferencia de los pronósticos del cáncer de endometrio 10 dependiendo de los métodos quirúrgicos. Se compararon entre sí un grupo de pacientes que se sometió a linfadenectomía y otro grupo que no se sometió a linfadenectomía en cuanto a la supervivencia global. (a) Comparación en todos los grupos de pacientes. (b) Comparación en el grupo RFP-negativo. (c) Comparación en el grupo RFP-positivo.

[Descripción de las realizaciones]

15 [0012] Como resultado de la investigación por los presentes inventores, se ha revelado que HDAC1 acelera la resistencia de las células cancerosas al estrés oxidativo reduciendo la expresión de la proteína de unión a tiorredoxina-2 (TBP-2).

[0013] RFP es una proteína nuclear que tiene una estructura de dedo de cinc tipo anillo que forma una proteína de fusión con RET y posteriormente es activada como proteína cancerosa (Takahashi, M y Cooper, GM: ret 20 transforming gene encodes a fusion protein homologous to tyrosine kinases. Mol. Cell. Biol. 7, 1378-1385 (1987) (documento no patente 18; documento no patente 16). RFP tiene una potente actividad represora de la transcripción e interacciona con diversas proteínas nucleares (Shimono y, Murakami, H, Hasegawa Y y Takahashi M: RFP is a transcriptional repressor and interacts with enhancer of polycomb that has dual transcriptional functions. J. Biol Chem. 275: 39411-39419. (200) (documento no patente 19); Shimono, Y, Murakami, H, Kawai, K, Wade, PA, 25 Shimokata, K y Takahashi, M: Mi-2 associates with BRG1 and RET finger protein at the distinct regions with transcriptional activating and repressing abilities. J. Biol. Chem. 278: 51638-51645 (2003) (documento no patente 20); Shimono, K, Shimono, Y, Shimokata, K, Ishiguro, N, y Takahashi, M: Microspherule protein 1, Mi-2β, and RET finger protein associate in the nucleolus and up-regulate ribosomal gene transcription. J. Biol. Chem. 280: 39436-39447 (2005) (documento no patente 21)). Se ha descrito que RFP se expresa a altos niveles en una línea celular de 30 cáncer. Sin embargo, no se ha dilucidado el estado de expresión de RFP en tejido canceroso. La secuencia de un gen de RFP (SEC ID N.º: 1), la secuencia de ARNm de RFP (SEC ID N.º: 2) y la secuencia de aminoácidos de RFP (SEC ID N.º: 3) se muestran en el listado de secuencias. Como se mencionó anteriormente, puesto que los ratones knockout para RFP no muestran fenotipo de afecciones graves, es preferible RFP como diana desde el punto de vista de la seguridad. Además, ya que se observa una elevada expresión en diversos tipos de tumores humanos o 35 líneas celulares en cultivo derivadas de la mayoría de los tumores examinados (datos no publicados y documento no patente 16), se espera que la acción se ejerza sobre una amplia variedad de tumores.

[0014] Como resultado de la investigación de los presentes inventores (véanse los ejemplos mencionados a continuación), se ha descubierto que RFP está implicado en la regulación de la sensibilidad al estrés oxidativo por HDAC1 a través de la interacción física y funcional entre RFP y HDAC1. Como resultado de la investigación de los presentes inventores, se ha revelado que el extremo N-terminal de HDAC1 se une a un dominio superhélice y a un dominio Rfp de RFP.

(Procedimiento para el análisis de la resistencia a fármacos antineoplásicos)

[0015] Como resultado de la investigación de los presentes inventores, se ha descubierto que la alta expresión de RFP está correlacionada con la reducción de la expresión de TBP-2 en un carcinoma de colon humano y con un pronostico desfavorable en pacientes con carcinoma de colon (véanse los ejemplos mencionados a continuación). El método de análisis permite determinar la resistencia de las células cancerosas a un fármaco antineoplásico. La determinación de los resultados se pueden usar para determinar, por ejemplo, la política de tratamiento (selección del método de tratamiento y similares). El uso de la determinación conlleva mejoras en los resultados clínicos del tratamiento, mejora el pronóstico y la calidad de vida (CdV) de los pacientes, y similares. Por tanto, el procedimiento de análisis proporciona información extremadamente útil para el tratamiento del cáncer.

[0016] El procedimiento de análisis incluye las siguientes etapas: una etapa de examen del nivel de expresión de RFP en células cancerosas aisladas de un organismo vivo (etapa de detección) y una etapa de determinación de la resistencia de las células cancerosas a un fármaco antineoplásico que tiene capacidad para inducir el estrés oxidativo basado en los resultados de la etapa mencionada anteriormente (etapa de determinación).

55 **[0017]** En la etapa de detección, en primer lugar se preparan las células cancerosas aisladas de un organismo vivo. El término «aislado de un organismo vivo» se refiere a un estado en el que se extrae una parte del tejido vivo que incluye las células cancerosas que se desea analizar y, por tanto, las células cancerosas que se desea analizar

están completamente aisladas del organismo vivo origen de las células cancerosas. Tan pronto como se cumpla esta condición, las células cancerosas pueden estar en un estado en el que formen tejido junto con las células circundantes (esto es, en un estado de fragmento de tejido) o pueden estar en un estado en el que estén aisladas de las células circundantes. En el primer caso, las células se pueden preparar de modo que, por ejemplo, se realice el diagnóstico histológico mediante biopsia (biopsia) y en el segundo caso, las células se pueden preparar de modo que, por ejemplo, se realice el diagnóstico citológico.

[0018] Posteriormente se examina el nivel de expresión de RFP en las células cancerosas preparadas. El nivel de expresión de RFP normalmente se calcula en función de la comparación con el control (comparación con control). Como control es posible usar diversas células cancerosas cuyo nivel de expresión de RFP se haya determinado 10 previamente y células normales recogidas junto con las células cancerosas que se desea analizar cuando las células cancerosas que se desea analizar se obtienen de un organismo vivo. No es necesario cuantificar estrictamente el nivel de expresión de RFP, aunque se puede detectar el nivel de expresión de RFP en tal grado que la resistencia a un fármaco antineoplásico de las células cancerosas que se desea analizar se puede evaluar a través de la comparación con el control. Téngase en cuenta aquí que, como es habitual, el caso en el que se observa expresión 15 de RFP en las células cancerosas que se desea analizar se define también como RFP-positivo (o positivo para RFP), y el caso en el que no se observa expresión de RFP en las células cancerosas que se desea analizar se define también como RFP-negativo (o negativo para RFP). Cuando el nivel de expresión de RFP de las células cancerosas que se desea analizar se detecta mediante inmunohistoquímica (descrito con detalle más adelante), por ejemplo, cuando se reconoce la tinción de no menos del 10% de las células cancerosas que se desea analizar (es 20 decir, la tasa de células teñidas no es inferior al 10%), se determina que las células son RFP-positivas (o positivas para RFP). Se puede establecer adecuadamente un valor límite para distinguir positivo de negativo (lo que viene representado por la tasa de células teñidas) de acuerdo con el procedimiento de detección o las condiciones de detección. Por ejemplo, puede establecerse un valor límite del 5 al 30%.

[0019] El nivel de expresión de RFP se detecta mediante la concentración de proteína o de ARNm. Cuando se requiera una alta precisión, el nivel de proteína es mejor. Cuando el nivel de expresión de RFP se detecta mediante la concentración de proteína, es decir, cuando se examina la cantidad de proteína RFP como el nivel de expresión de RFP, se puede usar un procedimiento de inmunotransferencia o inmunohistoquímica (inmunotinción), aunque el procedimiento no se limita a estos. Mediante inmunohistoquímica se puede examinar al mismo tiempo la forma o estado de distribución de las células cancerosas que se desea analizar, se puede obtener información adicional al mismo tiempo.

En la inmunohistoquímica se usa un anticuerpo que reconoce específicamente RFP (anticuerpo anti-RFP) y se examina la cantidad de proteína RFP usando como indicador la propiedad de unión (cantidad de unión) del anticuerpo. Se puede realizar la inmunohistoquímica usando un anticuerpo anti-RFP por ejemplo mediante un método ABC (complejo avidina-biotina), un método PAP (complejo peroxidasa-antiperoxidasa), un método LAB (biotina ligada a avidina), un método LSAB (biotina ligada a estreptavidina) y similares. El protocolo convencional de cada uno de los procedimientos es bien conocido (véase por ejemplo, «Enzyme-labeled Antibody Method» 3ª edición revisada, K. Watanabe and K. Nakane (ed), Gakusai Kikaku).

[0020] El tipo y origen de los anticuerpos anti-RFP que se usen en la inmunohistoquímica no están especialmente limitados. Preferiblemente se usa un anticuerpo monoclonal, aunque se pueden usar anticuerpos oligoclonales (una mezcla de varios tipos de anticuerpos) o un anticuerpo policlonal, siempre que se pueda detectar RFP con suficiente especificidad. Se pueden usar fragmentos de anticuerpos como Fab, Fab', F(ab')₂, scFv y dsFv. El anticuerpo anti-RFP se puede preparar mediante procedimientos inmunológicos, una técnica de despliegue de fagos, un procedimientos de despliegue de ribosomas y similares. Téngase en cuenta aquí que en el documento «Shimono, Y y col. RET finger protein is a transcriptional repressor and interacts with enhancer of polycomb that has dual transcriptional functions. J Biol Chem. 275(50): 39411-9 (2000)» se describe un procedimiento de preparación de un anticuerpo anti-RFP (anticuerpo policlonal de conejo) y el uso del mismo, que puede servir como referencia.

[0021] A continuación en este documento se muestra un ejemplo de los métodos y procedimientos de inmunohistoquímica.

- (1) Inmovilización. Método de inclusión en parafina
- 50 **[0022]** El tejido extraído de un ser vivo (en necropsia, cadáver) se inmoviliza en formalina, paraformaldehído y similares y posteriormente se incluye en parafina. En general, se deshidrata con alcohol, se trata con xileno y finalmente se incluye en parafina. Las muestras incluidas en parafina se cortan con el grosor deseado (por ejemplo, 3 a 5 μm) y se extiende sobre un portaobjetos de vidrio. En lugar de la muestra incluida en parafina, se puede usar una muestra congelada.
- 55 (2) Desparafinación
 - [0023] En general, el tratamiento se realiza secuencialmente, por este orden, con xileno, alcohol y agua purificada.
 - (3) Pretratamiento (activación del antígeno)

- **[0024]** Si es necesario, para la activación del antígeno se puede realizar, por ejemplo, un tratamiento enzimático, tratamiento térmico y/o tratamiento de presurización.
- (4) Eliminación de la peroxidasa endógena.
- [0025] Cuando se usa peroxidasa como material de marcaje para la tinción, se elimina la activación de la 5 peroxidasa endógena realizando un tratamiento con una solución de peróxido de hidrógeno.
 - (5) Inhibición de la reacción inespecífica
- [0026] La reacción inespecífica se inhibe tratando el corte de tejido con una solución de albúmina sérica bovina (por ejemplo, solución al 1%) de varios minutos a varias decenas de minutos. Téngase en cuenta aquí que este proceso se puede omitir cuando la reacción con el anticuerpo primario que sigue se realiza usando una solución de 10 anticuerpo que contenga albúmina sérica bovina.
 - (6) Reacción con el anticuerpo primario
 - **[0027]** Se pone sobre el corte del portaobjetos de vidrio un anticuerpo diluido a la concentración apropiada y se deja reaccionar de diez minutos a varias horas. Tras la reacción, el producto reaccionado se lava con una solución de tampón apropiada, como tampón fosfato.
- 15 (7) Adición del reactivo de marcaje
 - **[0028]** Como material de marcaje se usa frecuentemente peroxidasa. Se pone sobre el corte del portaobjetos de vidrio un anticuerpo secundario al que se ha unido la peroxidasa y se deja reaccionar de diez minutos a varias horas. Tras la reacción, el producto formado se lava con una solución de tampón apropiada, como tampón fosfato.
 - (8) Reacción de color
- 20 **[0029]** Se disuelve DAB (3,3'-diaminobencidina) en solución de tampón Tris. A continuación de añade la solución de peróxido de hidrógeno. Se deja que la solución de color así preparada penetre en el corte de tejido durante varios minutos (por ejemplo, cinco minutos) de manera que se desarrolle color en el corte. Tras la reacción de color, el corte se lava lo suficiente con agua corriente para eliminar el DAB.
 - (9) Tinción nuclear
- 25 **[0030]** El corte se somete a una tinción nuclear haciéndolo reaccionar con hematoxilina de Mayer de varios segundos a varias decenas de segundos. Se lava con agua corriente para eliminar el exceso de colorante (en general durante varios minutos).
 - (10) Deshidratación, aclaramiento y encapsulación
- [0031] El corte de tejido se deshidrata con alcohol, se somete a un tratamiento de aclaramiento con xileno y, 30 finalmente, se encapsula con resina sintética, glicerina, jarabe de goma y similares.
- [0032] Para la detección y determinación del ARNm cuando se examina el nivel de expresión de RFP en función de la concentración de ARNm se puede usar RT-PCR (Molecular Cloning, tercera edición, 8.46, Cold Spring Harbor Laboratory Press, Nueva York), un procedimiento de transferencia de ARN (Molecular Cloning, tercera edición, 7.42, Cold Spring Harbor Laboratory Press, Nueva York), un procedimiento de transferencia en puntos (Molecular Cloning, 35 tercera edición, 7.46, Cold Spring Harbor Laboratory Press, Nueva York), un procedimiento que use un chip de ADN (matriz de ADN) y similares.
- Una persona experta en la materia puede diseñar un cebador de ácidos nucleicos o una sonda de ácidos nucleicos adecuados para cada uno de los procedimientos mediante un procedimiento convencional basado en la secuencia de RFP (base de datos del NCBI, acceso: RFPNM_006510, DEFINICIÓN: Homo sapiens tripartite motif-containing 40 27 (TRIM27), ARNm. (SEC ID N.º 2)).
 - **[0033]** En la etapa de determinación, la resistencia de las células cancerosas a un fármaco antineoplásico que tiene la capacidad de inducir el estrés oxidativo se determina en función del resultado de la etapa de detección, es decir, del nivel de expresión de RFP. A continuación en este documento se muestran ejemplos específicos de evaluación basados en el nivel de expresión de RFP.
- 45 **[0034]** Previamente se establecen diversas divisiones de evaluación para relacionar entre el nivel de expresión de RFP y la resistencia a fármacos antineoplásicos. A continuación, en la etapa de decisión se obtiene la división de evaluación que corresponde con las células cancerosas que se desea analizar en función del nivel de expresión de RFP. Como ejemplos específicos del establecimiento de divisiones de evaluación, se muestra a continuación un ejemplo centrado en la presencia o ausencia de expresión de RFP (ejemplo 1) y un ejemplo centrado en el grado de
- 50 expresión de RFP (ejemplo 2). Téngase en cuenta aquí que se describe por este orden el nombre de división: nivel de expresión de RFP relacionado con la división: resultados de la evaluación relacionados con la división.

<ejemplo 1>

[0035]

División 1: RFP-positivo: resistencia a un fármaco antineoplásico

División 2: RFP-negativo: sensible a un fármaco antineoplásico

5 <ejemplo 2>

[0036]

División 1: no se observa expresión de RFP: sensible a un fármaco antineoplásico

División 2: se observa expresión débil de RFP: baja resistencia a un fármaco antineoplásico

División 3: se observa expresión moderada de RFP: resistencia moderada a un fármaco antineoplásico

10 División 4: se observa expresión fuerte de RFP: alta resistencia a un fármaco antineoplásico

[0037] El número de divisiones de evaluación, y el nivel de expresión de RFP y los resultados de la evaluación relacionados con cada división de evaluación no se limitan necesariamente a los ejemplos mencionados más arriba, pudiendo establecerse arbitrariamente por medio de un experimento preliminar y similares. Téngase en cuenta que la determinación y evaluación en la presente invención se puede realizar automática y mecánicamente sin depender de la determinación por expertos en la materia, por ejemplo, doctores y técnicos de laboratorio.

[0038] Como se mencionó anteriormente, la política de tratamiento se puede determinar usando los resultados de la determinación del procedimiento de análisis. Por ejemplo, cuando el resultado de la determinación es: «con resistencia a un fármaco antineoplásico» o «con alta resistencia a un fármaco antineoplásico», es posible predecir que el uso de un único fármaco antineoplásico puede no mostrar el efecto terapéutico deseado. En tal caso, una política de tratamiento eficaz es usar el agente de la presente invención en combinación con un fármaco antineoplásico, ya que potencia la acción del fármaco antineoplásico. Por otro lado, si el resultado de la determinación es: «sensibilidad a un fármaco antineoplásico» o «baja resistencia a un fármaco antineoplásico», es posible predecir que un único fármaco antineoplásico puede mostrar el efecto terapéutico esperado. En tal caso, una de las opciones de política de tratamiento eficaz es usar un fármaco antineoplásico en monoterapia. No obstante, también en tal caso, para mejorar el efecto terapéutico potenciando la acción del fármaco antineoplásico, se puede administrar en combinación el agente potenciador de la acción de la presente invención.

(Biomarcador para estimar el pronóstico y uso del mismo)

[0039] Como resultado de la investigación de los presentes inventores se ha revelado que la alta expresión de RFP se correlaciona con el pronóstico desfavorable en pacientes con carcinoma de colon o pacientes con cáncer de endometrio (véase el ejemplo mencionado a continuación). Según los resultados, un tercer aspecto de la presente invención es proporcionar un marcador compuesto de RFP para estimar el pronóstico en pacientes con cáncer. El biomarcador es útil para entender el pronóstico en pacientes con cáncer. Asimismo, puede servir de guía para determinar el procedimiento quirúrgico. Por ejemplo, cuando se observa la expresión de RFP en una muestra (células cancerosas) aislada de una paciente con cáncer de endometrio (por ejemplo, inmunotinción positiva), es posible determinar si es preferible emplear una intervención más agresiva. Una intervención más agresiva puede ser una histerectomía radical con linfadenectomía.

[0040] Este aspecto proporciona el procedimiento para estimar el pronóstico en pacientes con cáncer como uso del biomarcador mencionado anteriormente. De acuerdo con el procedimiento de estimación del pronóstico según la presente invención, se obtiene información sobre la estimación del pronóstico en pacientes con cáncer. Por ejemplo, la información se usa para determinar la política de tratamiento (selección del procedimiento eficaz de tratamiento y similares). El uso de la determinación conlleva mejoras en los resultados clínicos del tratamiento, mejora el pronóstico y la calidad de vida (CdV) de los pacientes, y similares.

[0041] A continuación se ofrece una descripción detallada de este aspecto de la presente invención. Los temas comunes en el primer o en el segundo aspecto emplean la descripción en el primer o segundo aspecto. En la 45 memoria descriptiva, el «biomarcador para estimar el pronóstico en pacientes con cáncer» se refiere a una biomolécula que es un indicador para estimar el pronóstico en pacientes con cáncer. El biomarcador de la presente invención es particularmente útil en la estimación del pronóstico de pacientes con carcinoma de colon.

[0042] En el procedimiento de estimación del pronóstico en la presente invención, el biomarcador de la presente invención se usa como indicador para la determinación. Específicamente, el pronóstico en un paciente con cáncer se estima usando como indicador el nivel de expresión de RFP en células cancerosas aisladas del paciente con cáncer. Más específicamente, se lleva a cabo una etapa de detección del nivel de expresión de RFP en células cancerosas aisladas del paciente con cáncer (etapa de detección) y una etapa de estimación del pronóstico basada en el

resultado de la estimación (etapa de estimación del pronóstico). La etapa de detección aquí se puede realizar de forma similar a la etapa de detección del segundo aspecto mencionado anteriormente. Entre los ejemplos de pacientes con cáncer se incluyen pacientes con carcinoma de colon.

[0043] En la etapa de estimación del pronóstico, el pronóstico en un paciente con cáncer se estima usando el nivel 5 de expresión de RFP en las células cancerosas como indicador. Básicamente, se emplea el criterio de determinación en el que se determina que el pronóstico es desfavorable si el nivel de expresión de RFP es grande. A continuación se describen ejemplos específicos de evaluación basados en el nivel de expresión de RFP.

[0044] Previamente se establecen diversas divisiones de evaluación para relacionar entre el nivel de expresión de RFP y el pronóstico. A continuación, se determina la división de evaluación correspondiente a las células cancerosas que se desea analizar en función del nivel de expresión de RFP obtenido en la etapa de decisión. Como ejemplos específicos del establecimiento de divisiones de evaluación, se muestra a continuación un ejemplo centrado en la presencia o ausencia de expresión de RFP (ejemplo 1) y un ejemplo centrado en el grado de expresión de RFP (ejemplo 2). Téngase en cuenta aquí que se describe por este orden el nombre de división: nivel de expresión de RFP relacionado con la división: resultados de la evaluación relacionados con la división.

15 **<ejemplo 1>**

[0045]

División 1: RFP-positivo: el pronóstico es desfavorable

División 2: RFP-negativo: el pronóstico es bueno

<ejemplo 2>

20 [0046]

División 1: no se observa expresión de RFP: el pronóstico es bueno

División 2: se observa expresión débil de RFP: el pronóstico es relativamente bueno

División 3: se observa expresión moderada de RFP: el pronóstico es relativamente desfavorable

División 4: se observa expresión fuerte de RFP: el pronóstico es desfavorable

25 **[0047]** El número de divisiones de evaluación, y el nivel de expresión de RFP y los resultados de la evaluación relacionados con cada división de evaluación no se limitan necesariamente a los ejemplos mencionados más arriba, pudiendo establecerse arbitrariamente mediante de un experimento preliminar y similares. Téngase en cuenta que la determinación y evaluación en la presente invención se puede realizar automática y mecánicamente sin depender de la determinación por expertos en la materia, por ejemplo, doctores y técnicos de laboratorio.

30 [0048] El reactivo está compuesto por un anticuerpo anti-RFP. Los tipos y origen de los anticuerpos anti-RFP emplean la correspondiente descripción en el segundo aspecto. Cuando se usa un anticuerpo marcado como anticuerpo anti-RFP, la cantidad de anticuerpo unido se puede detectar directamente usando una cantidad de marcaje como indicador. Por tanto, se puede construir un procedimiento de análisis más sencillo. Por el contrario, este procedimiento presenta los problemas de un anticuerpo anti-RFP al que se une un agente de marcaje y, además, la sensibilidad de detección es generalmente menor. Luego, es preferible usar procedimientos de detección indirectos como un procedimiento que use un anticuerpo secundario al cual se une un agente de marcaje, y un procedimiento que use un polímero al cual se une un anticuerpo secundario y un agente de marcaje. El anticuerpo secundario en el presente documento denota un anticuerpo con conectividad específica con respecto al anticuerpo anti-RFP. Por ejemplo, cuando se prepara un anticuerpo anti-RFP como un anticuerpo de conejo, se puede usar un anticuerpo anti-IgG de conejo. Hay disponibles en el mercado anticuerpos secundarios marcados que se pueden usar para diversos anticuerpos como conejo, cabra y ratón (por ejemplo, Funakoshi Co., Ltd., Cosmo Bio Co., Ltd. o similares) y los anticuerpos se pueden seleccionar adecuadamente según los reactivos de la presente invención.

[0049] Entre los ejemplos de agentes de marcaje se incluyen enzimas como peroxidasa, microperoxidasa, peroxidasa de rábano picante (HRP), fosfatasa alcalina, β-D-galactosidasa, glucosa oxidasa y glucosa-6-fosfato deshidrogenasa; una sustancia fluorescente como isotiocianato de fluoresceína (FITC), isotiocianato de tetrametilrodamina (TRITC) y euripio; sustancias quimioluminiscentes como luminar, isoluminol y derivados de acridinio; coenzimas como NAD y biotina; así como sustancias radioactivas como ¹³¹l y ¹²⁵l.

[0050] El reactivo se puede formar en una fase sólida de acuerdo con su uso. Los medios de soporte insoluble utilizado para hacer la fase sólida no están especialmente limitados. Por ejemplo, medios de soporte insoluble 50 hechos de materiales insolubles en agua, por ejemplo, resina como una resina de poliestireno, una resina policarbonatada, una resina de silicona y una resina de nailon y vidrio. Los anticuerpos pueden fijarse en medios de soporte insolubles mediante adsorción física o química.

[EJEMPLOS]

[0051] Según la hipótesis de que el HDACi regula el mecanismo de antioxidación en las células haciendo que estas sean sensibles a un fármaco antineoplásico, se realizan los experimentos mencionados a continuación.

- 1. Materiales y procedimientos
- 5 (1) Plásmidos

[0052] El plásmido pcDNA3-HDAC1-Flag fue proporcionado generosamente por el Dr. Kawaguchi (Prefectura de Aichi, Japón). Los fragmentos de deleción de *NF-YA, NF-YB, NF-YC, HDAC1 y HDAC1* de longitud completa y el ADNc de *TBP-2* se clonaron en el vector pcDNA3.1/V5-His-TOPO según las instrucciones del fabricante. El ADNc de *HDAC1* procedente de pcDNA3.1/V5-His-HDAC1 se insertó en el vector pcDNA3.1/myc-His. La construcción pFlag-10 RFP se ha descrito previamente (referencia 20). El ADNc de *RFP* se insertó en el vector pEGFP-C1.

(2) ARNi

[0053] El ARNip de *HDAC1* se adquirió en Dhamacon. Los ARNip de *RFP*, *TBP-2*, *NF-YC* y control se adquirieron en QIAGEN. Los ARNip se transfectaron usando Lipofectoamine 2000 (Invitrogen) según las instrucciones del fabricante. Para la expresión reducida de *RFP* mediada por ARNhc se sintetizó como sigue un conjunto de oligonucleótidos de cadena sencilla que codificaban el ARNhc de la diana *NFP* o del control negativo y sus complementarios (solo se muestran las secuencias sentido) ARNi.

shRFP:

El par de oligonucleótidos complementarios se insertó en un vector pSilencer3.1-H1 neo (Ambion) que se usó como vector de expresión de ARNhc.

20 (3) Generación de líneas celulares que expresan de forma estable ARNhc

[0054] Las células HeLa se transfectaron con el vector de expresión de ARNhc con Lipofectoamine 2000 y se seleccionaron con neomicina durante 2 semanas.

- (4) Ensayo de viabilidad celular
- [0055] Utilizando placas de 96 pocillos, se sembraron 8 x 10³ células por pocillo y 24 horas después se trataron 25 con H₂O₂ (10 h) o cisplatino (24 h) a la concentración descrita. La viabilidad celular se midió mediante el ensayo WST-1 (Roche). En la gráfica, el índice del grupo sin tratamiento se define como 1.
 - (5) RT-PCR
- [0056] El ARN total de las células HeLa transfectadas con ARNip se aisló usando el kit RNeasy Mini (Qiagen). A continuación, los transcritos del ADNc se generaron usando Superscript II (Invitrogen). Se realizó una RT-PCR con cebadores específicos de *HDAC1* (sentido, 5'-CTCCTGTTTTTTTCAGGCTCC-3' (SEC ID N.º: 11); complementario, 5'-ACGAGAAGACAGACAGAGGGC-3' (SEC ID N.º: 12)), *RFP* (sentido, 5'-TGCTCGACTGCGGCCATAAC-3' (SEC ID N.º: 13); complementario, 5'-TCGGTGCGCAGCTGCTTTAC-3' (SEC ID N.º: 14)), *TBP-2* (sentido, 5'-TGAGATGGTGATCATGAGACC -3' (SEC ID N.º: 15); complementario, 5'-GTATTGACATCCACCAGATCC -3' (SEC ID N.º: 16)), *GAPDH* (sentido, 5'-GAAGGTGAAGGTCGGAGTCAA-3' (SEC ID N.º: 17); complementario, 5'-GAGATGATGACCCTTTTGGCTC-3' (SEC ID N.º: 18)).
 - (6) Inmunoprecipitación e inmunotransferencia
- [0057] Se lavaron las células dos veces con PBS enfriado en hielo y se lisaron con tampón de lisis (Tris-HCl 50 mM, pH 7,4, NaCl 120 mM, MgCl₂ 5 mM, Nonidet P-40 al 0,8%, glicerol al 10%, DTT 1 mM y PMSF 1 mM) que contenía una mezcla de inhibidores de proteasas completa. Los lisados se sonicaron brevemente y se inmunoprecipitaron con los anticuerpos indicados. Como control se usó un anticuerpo normal de conejo purificado un anticuerpo anti-etiqueta HA. La separación electroforética y la inmunotransferencia se realizaron según lo descrito previamente (referencia 20). Para la inmunotransferencia con los inmunoprecipitados usando el anticuerpo policional de conejo se usó Relia Blot (Bethyl Laboratories) según las instrucciones del fabricante.
 - (7) Ensayo de inmunoprecipitación de la cromatina (ChIP)
- 45 **[0058]** Los experimentos de ChIP se realizaron según lo descrito previamente (referencias 28). Brevemente, se sonicó la cromatina entrecruzada con formaldehído procedente de las células indicadas y los fragmentos de

cromatina resultantes se inmunoprecipitaron con anticuerpos anti-HDAC1, anti-H3 acetilada, anti-H4 acetilada, anti-RFP o anti-NFYB. Como control se usó IgG normal de conejo o de ratón purificada. Los entrecruzados con formaldehído se invirtieron añadiendo NaCl 5 M a una concentración final de 0,2 M y se incubaron durante 8 h a 65°C. El ADN purificado y el ADN de entrada se amplificó mediante PCR en 32-37 ciclos.

5 (8) Modelo de tratamiento in vivo

[0059] Se inyectaron por vía subcutánea células control o HeLa que expresaban de forma estable ARNhc en el lomo de ratones hembra desnudos (7 semanas). Cuando el volumen tumoral medio alcanzó al menos 50 mm³, los animales fueron asignados aleatoriamente al grupo control y a los grupos de tratamiento antes del primer tratamiento con cisplatino. Se administró por vía intraperitoneal 1 mg/kg de cisplatino o vehículo (solución salina: control) cada 10 4 días. El volumen del tumor se calculó a partir de la siguiente ecuación después de medir el diámetro tumoral con un calibrador.

Volumen = (Eje mayor × Eje menor × Eje menor) / 2

(9) Inmunohistoquímica

[0060] Se desparafinaron y rehidrataron cortes de tejido fijados en formalina e incluidos en parafina procedentes de pacientes con carcinoma de colon. Las preparaciones se lavaron bien con agente bloqueante de proteínas (UltraTech HRP Streptavidin-Biotin Detection System, Beckman Coulter) y se bloqueó la peroxidasa endógena con peróxido de hidrógeno al 3%. La recuperación del antígeno se realizó autoclavando a 121°C durante 10 min en tampón citrato (pH 7,0) 0,1 moles/I con NP-40 al 0,5% (Sigma-Aldrich). Los cortes se incubaron con anticuerpo policional de conejo anti-RFP y luego se aplicó un anticuerpo secundario polivalente biotinilado de cabra (Beckman Coulter). Las muestras se incubaron con estreptavidina conjugada con peroxidasa y los productos de la reacción se visualizaron con tetrahidrocloruro de 3,3'-diaminobencidina (DAB). Cuando se teñían más del 10% de las células tumorales con el anticuerpo, se clasificaba como positivo para la expresión del antígeno.

Se usaron representaciones de Kaplan-Meier para estimar la importancia pronóstica de RFP en análisis univariable usando Stat view.

25 (10) Inmunofluorescencia

[0061] Se desparafinaron y rehidrataron cortes de tejido fijados en formalina e incluidos en parafina procedentes de pacientes con carcinoma de colon. La recuperación del antígeno se realizó calentando con microondas durante 10 min en tampón citrato (pH 6). Las muestras se bloquearon con BSA al 1% en PBS y se incubaron con un anticuerpo policlonal anti-RFP y un anticuerpo monoclonal anti-TBP-2. A continuación, las muestras se tiñeron con un anticuerpo anti-IgG de conejo conjugado con Alexa Fluor 594, un anticuerpo anti-IgG de ratón conjugado con Alexa Fluor 488 y con DAPI. Se montaron las preparaciones y se examinaron con un microscopio confocal.

(11) Pacientes con cáncer de endometrio

[0062] Se usaron para los experimentos, previo consentimiento informado, muestras problema (119 muestras) procedentes de pacientes con adenocarcinoma endometrioide de endometrio que se habían sometido a tratamiento quirúrgico en el Hospital Universitario de Nagoya entre 1992 y 2007. Las edades de las pacientes oscilaban entre 28 a 86 años (mediana de edad: 57). Ninguna de las pacientes se había sometido a quimioterapia neoadyuvante. Todas las pacientes se sometieron a histerectomía radical o abdominal total más salpingo-ovariectomía bilateral. Además, 72 pacientes se sometieron a linfadenectomía. Todas las pacientes se estadificaron de acuerdo con los criterios FigO (Federación Internacional de Ginecología y Obstetricia) de 1998. Setenta y dos (72) pacientes tenían un estadio 1, 16 pacientes estadio II, 24 pacientes estadio III y 7 pacientes estadio IV. El grado histológico se asignó según la clasificación de la Organización Mundial de la Salud. Cincuenta (50) pacientes eran G1, 51 pacientes eran G2 y 18 pacientes eran G3.

2. Resultados y discusión

[0063] En primer lugar se analizó si los HDACi afectan a la sensibilidad celular al estrés oxidativo usando la línea celular de cáncer de cuello uterino HeLa. El tratamiento con tricostatina A (TSA), un HDACi convencional, sensibilizó a las células HeLa al H₂O₂, un potente inductor del estrés oxidativo (Fig. 1a). Para investigar el mecanismo molecular que subyace a esta sensibilización de las células cancerosas al estrés oxidativo, los presentes inventores se centraron en el papel de la HDAC1, que es un miembro bien estudiado de las HDAC. La reducción de la expresión de HDAC1 incrementaba considerablemente la citotoxicidad del H₂O₂ y del cisplatino en las células HeLa (Fig. 1b-d). Aunque se propuso que p53 se asocia con HDAC1 para regular la sensibilidad celular al estrés oxidativo (referencias 16-19), pueden existir otros mecanismos en las células HeLa en las que la proteína E6 del virus del papiloma ha inactivado p53.

[0064] Puesto que los presentes inventores previamente encontraron que RFP (*RET finger protein*), que tiene una elevada expresión en la mayoría de líneas celulares de cáncer, se asocia y colocaliza con HDAC1 (referencia 20), se 55 intentó elucidar si RFP está implicada en la función biológica de HDAC1 en lo referente a la sensibilidad al estrés

oxidativo. Primero se determinó el dominio de unión de RFP y HDAC1. La región amino-terminal de HDAC1 se une tanto al dominio superhélice como al dominio Rfp de RFP (Fig. 2). Además, la reducción de la expresión de RFP o de HDAC1 potencia la sensibilidad de las células cancerosas al H_2O_2 y al cisplatino (Fig. 1b-g), sugiriendo la posibilidad de que HDAC1 esté funcionalmente asociado a RFP.

5 [0065] Puesto que tanto HDAC1 como RFP tienen actividad represora de la transcripción 1,20,21, se generó la hipótesis de que HDAC1 y RFP puede reprimir en cooperación los genes diana comunes que son responsables de la sensibilización de las células a fármacos citotóxicos. Para identificar dichos genes diana, se generaron células HeLa estables que expresaban ARN horquillado corto (ARNhc) control o de RFP y se compararon los perfiles de expresión génica mediante micromatrices de ADN. Entre los genes cuya expresión aumentaba en las células con 10 expresión reducida de RFP, los presentes inventores se centraron en el gen TBP-2 porque se ha descrito que su expresión también es aumentada significativamente por un inhibidor de HDAC, SAHA (referencia 15). Es bien conocido que TBP-2 inhibe la tiorredoxina (referencias 22 y 23), un eliminador de ROS, y sensibiliza a las células al estrés oxidativo y al cisplatino (referencias 4 y 24). A partir de los resultados obtenidos mediante la reacción en cadena de la polimerasa con transcripción inversa (RT-PCR) y el análisis mediante inmunotransferencia, los 15 presentes inventores confirmaron que la expresión de TBP-2 está regulada a nivel transcripcional por HDAC1 y RFP (Fig. 3a v b), Para analizar si TBP-2 sensibiliza de hecho a las células al H₂O₂ v al cisplatino, se sobreexpresó TBP-2 en células HeLa. La sobreexpresión de TBP-2 aumentaba considerablemente la sensibilidad a estos agentes (Fig. 3d y e), sugiriendo que la expresión inducida de TBP-2 en células HeLa es responsable de la mayor sensibilidad al H₂O₂ y al cisplatino en células con expresión reducida de HDAC1 o RFP. Se examinó más en profundidad si la 20 expresión inducida de TBP-2 por HDAC1ip o RFPip era responsable del aumento de la sensibilidad. La reducción de la expresión de TBP-2 recuperaba significativamente la resistencia celular al H₂O₂ y al cisplatino, que disminuía por la reducción de la expresión de HDAC1 o RFP (Fig. 3f-h). Estos resultados demuestran que HDAC1 y RFP aumentan la resistencia celular a estos agentes en parte por la represión de la expresión de TBP-2.

Asimismo, se confirmó que se observaron los mismos resultados cuando se usaron líneas celulares de carcinoma de 25 colon y de cánceres de mama (Fig. 4).

[0066] Se realizó una inmunoprecipitación de cromatina (ChIP) para examinar si HDAC1 y RFP eran reclutados a la región del promotor del gen *TBP-2* y regulaban directamente su expresión. Tanto HDAC1 como RFP eran reclutados a la región proximal, pero no a la distal, del promotor de *TBP-2*. El ensayo con el indicador luciferasa mostró que HDAC1 y RFP pueden reprimir de forma coordinada la actividad del promotor de *TBP-2* y la actividad represora de la transcripción de RFP era inhibida por HDAC1 (datos no mostrados). Puesto que la expresión de TBP-2 aumenta con la reducción de la expresión de RFP, se pensó que la acetilación de histonas en la región del promotor de TBP-2 está acelerada. La ChIP usando células con expresión reducida de RFP mostró un aumento de los niveles de acetilación de las histonas H3 y H4 en el promotor (Fig. 5b). Además, puesto que el reclutamiento de HDAC1 en una región del promotor de *TBP-2* está debilitado por la supresión de la expresión de RFP, se pensó que la acetilación de histonas por la reducción de la expresión de RFP es debida a que no se recluta HDAC1. Estos resultados sugieren en gran medida que RFP recluta HDAC1 a la región del promotor de *TBP-2* y reprime su transcripción a través de la actividad de HDAC1.

[0067] Puesto que no se ha descrito que HDAC1 o RFP se unan directamente al ADN, el complejo HDAC1-RFP debe ser reclutado al promotor a través de proteínas de unión a ADN. Estudios previos indicaron que la región proximal del promotor de *TBP-2* incluye la secuencia de unión a NF-Y y que la inducción de la expresión de TBP-2 por HDACi estaba regulada por NF-Y (referencia 15). Por tanto, se especula que NF-Y puede ser un candidato que reclute el complejo HDAC1-RFP al promotor de *TBP-2*. NF-Y es un factor de transcripción trimérico que consta de NF-YA, B y C. Los estudios de coinmunoprecipitación revelaron que RFP puede interaccionar específicamente con NF-YC (Fig. 5c y d). Esto sugiere que HDAC1, RFP y NF-Y pueden formar un complejo proteico. Para investigar este complejo proteico se cotransfectaron transitoriamente las construcciones NF-YC-V5, Flag-HDAC1 y Flag-RFP en células HEK293 y se inmunoprecipitaron con un anticuerpo anti-V5. HDAC1 y RFP coinmunoprecipitaban con NF-YC (fig. 5e).

[0068] El ensayo ChIP reveló que NF-Y se asociaba con la región proximal del promotor de *TBP-2* (Fig. 5f) como se observaba para HDAC1 y RFP, y que la expresión reducida de NF-YC atenuaba considerablemente el reclutamiento tanto de HDAC1 como de RFP al promotor de *TBP-2* (Fig. 5g y h). De estos resultados se deduce que HDAC1, RFP y NF-Y forman un complejo proteico sobre el promotor de *TBP-2*. Además, a partir de los resultados de cromatografía de filtración en gel, los presentes inventores encontraron que HDAC1, RFP y NF-YC se detectaban en las mismas fracciones (alrededor de las fracciones de 400 kDa). Esto respalda el hecho de que estas proteínas forman un complejo.

55 **[0069]** Los resultados que se muestran en la Fig. 5 sugieren que RFP media en la interacción entre HDAC1 y NF-YC. De acuerdo con esto, la asociación entre HDAC1 y NF-YC se potenciaba en las células que expresaban RFP de forma exógena, mientras que se atenuaba en consecuencia en las células con expresión reducida de RFP (Fig. 6b y c). Estos resultados indican que RFP media en la formación del complejo proteico. Puesto que se ha descrito que RFP forma un oligómero (referencias 25 y 26), se determinó el dominio necesario para su oligomerización. Como se muestra en la Fig. 7b, para la oligomerización RFP-RFP son necesarios los dominios anillo-caja B (RB) y superhélice

(CC), pero no el dominio Rfp (RD).

Puesto que los experimentos hasta la fecha mostraban que era necesario un dominio Rfp para que RFP se uniera a HDAC1 y NF-YC, se pensó que RFP se polimerizaba en RB y CC en el extremo N-terminal y se unía a HDAC1 y NF-YC respectivamente en un dominio Rfp en el extremo C-terminal para formar un complejo proteico HDAC1-RFP-NF-5 Y (Fig. 5i).

[0070] Asimismo, se estudió el efecto de la expresión de RFP en modelos *in vivo* de tratamiento con fármacos antineoplásicos. Se trasplantó por vía subcutánea en un ratón desnudo una línea celular en la que se había expresado ARNhc de *RFP* (RFP23hc y RFP26hc) y control (NC1hc). Cuando los tumores crecieron por encima de un volumen de 50 mm³, se inyectó cisplatino por vía intraperitoneal cada cuatro días. El tratamiento con cisplatino suprimía más considerablemente el crecimiento tumoral de las células con expresión reducida de RFP que el de las células control (Fig. 8a-c).

[0071] Por último, se analizó el efecto de la expresión de RFP sobre el pronóstico de pacientes con cáncer. Se obtuvieron muestras de 115 pacientes con carcinoma de colon. El cáncer de colon RFP positivo se definió como más del 10% de células tumorales claramente teñidas con anticuerpo anti-RFP. Como resultado, 68 de las 115 muestras de carcinoma de colon eran RFP positivas (Fig. 8d). La expresión de RFP y TBP-2 era exclusiva y la expresión de TBP-2 estaba claramente reducida en las células que expresaban RFP en muestras de cáncer de colon (Fig. 8e). El análisis de supervivencia de Kaplan-Meier de estos casos reveló una correlación significativa entre la expresión de RFP y una supervivencia global más corta (Fig. 8f). Estos resultados sugieren que los niveles de expresión de RFP en el cáncer de colon afectan a la eficacia de los fármacos antineoplásicos, así como al desenlace clínico de los pacientes.

[0072] Los efectos antitumorales sinérgicos de HDACi y los fármacos quimioterapéuticos han recibido considerable atención en la investigación para el tratamiento del cáncer; sin embargo, no se ha esclarecido completamente la base mecanicista de dicha sinergia. Varios estudios han sugerido como posible mecanismo que HDAC1 regula la sensibilidad celular a la apoptosis inducida por diversos mecanismos de estrés a través de la asociación con p53 (referencias 16-19). En este documento se presenta evidencia directa de que HDAC1 forma un complejo con RFP y NF-YC y regula la sensibilidad de las células cancerosas al estrés oxidativo a través de la represión de TBP-2. Según publicaciones previas, el aumento de la expresión de TBP-2 puede reducir la capacidad de eliminación de ROS de la tiorredoxina y sensibilizar a las células cancerosas al estrés oxidativo inducido por fármacos antineoplásicos. A la vista de estos datos, HDAC1 confiere a las células cancerosas resistencia a los fármacos antineoplásicos mediante la regulación del estado del sistema antioxidante.

[0073] Además, los presentes inventores demostraron que la reducción de la expresión de RFP sensibiliza significativamente a las células cancerosas frente a los fármacos antineoplásicos. De este modo, RFP podría convertirse en una nueva diana del tratamiento antineoplásico en combinación con otros fármacos antineoplásicos. Aunque los HDACi tienen potentes actividades antineoplásicas a concentraciones que son mínimamente tóxicas para el huésped, también se observaron toxicidades limitantes de dosis (referencia 28). Considerando la expresión restringida a tejido de RFP en células normales (referencia 29) y la ausencia aparente de defectos fenotípicos en los ratones *knockout* para RFP, el desarrollo de un tratamiento para el cáncer dirigido a RFP podría ser beneficioso y tener menos toxicidad.

Los resultados de los presentes inventores podrían proporcionar nuevos conocimientos sobre el mecanismo 40 molecular que subyace al sinergismo entre HDACi y los fármacos antineoplásicos.

[0074] Para profundizar más en la investigación, se examinó la relación entre la expresión de RFP en el cáncer de endometrio y el pronóstico. Como resultado, en la investigación de todos los grupos de pacientes (Fig. 9a), se demostró que el pronóstico era significativamente desfavorable en un grupo de pacientes en las que se observó la expresión de RFP. Además, cuando se realizó la misma investigación dividiendo los grupos de pacientes en estadio 45 I y estadios II a IV, la expresión de RFP se correlaciona con un pronóstico desfavorable independientemente del estadio (Fig. 9b y c). Posteriormente, la relación entre la expresión de RFP y el pronóstico se comparó entre los grupos de pacientes en los que se emplearon diferentes intervenciones quirúrgicas respectivamente. En el presente documento se investigó la diferencia entre histerectomía radical e histerectomía total. Como resultado, en el grupo RFP-negativo no se observaron diferencias significativas en el pronóstico en función de la diferencia del 50 procedimiento quirúrgico (Fig. 10b), aunque en el grupo RFP-positivo, el pronóstico mejoraba significativamente en el grupo de histerectomía radical en comparación con el grupo de histerectomía total (Fig. 10c). Por otro lado, se investigó la diferencia basada en la presencia o ausencia de linfadenectomía. En el grupo RFP-negativo no se observaron diferencias significativas entre ambos grupos (un grupo de pacientes (+) que se sometió a linfadenectomía y un grupo de pacientes (-) que no se sometió a linfadenectomía) (Fig. 11b). No obstante, en el 55 grupo RFP-positivo, se demostró que el pronóstico mejoraba en un grupo que se sometió a linfadenectomía en comparación con un grupo de pacientes que no se sometió a linfadenectomía (Fig. 11c). Considerando en conjunto los resultados de ambas figuras (Figs. 10 y 11), se podría pensar que en el caso de las pacientes con expresión de RFP el empleo de procedimientos quirúrgicos más agresivos conduce a una mejora del pronóstico. Se puede decir que puede obtenerse información para seleccionar un procedimiento quirúrgico mediante la confirmación del estado 60 de expresión de RFP (por ejemplo, realizando una inmunotinción) en la biopsia para el diagnóstico del cáncer de endometrio.

[Aplicabilidad industrial]

<Bibliografía>

[0075]

- 5 1. Yang, XJ. y Seto, E. The Rpd3/Hda1 family of lysine deacetylases: from bacteria and yeast to mice and men. Nat Rev Mol Cell Biol. 9(3):206-18 (2008)
 - 2. Bolden, JE., Peart, MJ. y Johnstone, RW, Anticancer activities of histone deacetylase inhibitors. Nat Rev Drug Discov. 5(9):769-84 (2006).
- 3. Minucci, S. y Pelicci, PG. Histone deacetylase inhibitors and the promise of epigenetic (and more) treatments for 10 cancer. Nature Reviews Cancer. 6(1):38-51 (2006).
 - 4. Junn, E. y col. Vitamin D3 up-regulated protein 1 mediates oxidative stress via suppressing the thioredoxin function. J Immunol. 164(12):6287-95 (2000).
 - 5. Xu, WS., Parmigiani, RB. y Marks, PA. Histone deacetylase inhibitors: molecular mechanisms of action. Oncogene. 26(37):5541-52 (2007).
- 15 6. Marks, PA. y Breslow, R. Dimethyl sulfoxide to vorinostat: development of this histone deacetylase inhibitor as an anticancer drug. Nature Biotechnology. 25(1):84-90 (2007).
 - 7. Miyajima, A. y col. Role of reactive oxygen species in cis-dichlorodiammineplatinum-induced cytotoxicity on bladder cancer cells. Br J Cancer. 76(2):206-10(1997).
- 8. Kurosu, T., Fukuda, T., Miki, T. y Miura, O. BCL6 overexpression prevents increase in reactive oxygen species and 20 inhibits apoptosis induced by chemotherapeutic reagents in B-cell lymphoma cells. Oncogene. 22(29):4459-68 (2003).
 - 9. Hwang, IT. y col. Drug resistance to 5-FU linked to reactive oxygen species modulator 1. Biochem Biophys Res Commun. 359(2):304-10 (2007).
- 10. Ravid, A. y col. 1,25-Dihydroxyvitamin D3 enhances the susceptibility of breast cancer cells to doxorubicin-25 induced oxidative damage. Cancer Res. 59(4):862-7 (1999).
 - 11. Godwin, AK. y col. High resistance to cisplatin in human ovarian cancer cell lines is associated with marked increase of glutathione synthesis. Proc Natl Acad Sci U S A. 89(7):3070-4 (1992).
 - 12. Yokomizo, A. y col. Cellular levels of thioredoxin associated with drug sensitivity to cisplatin, mitomycin C, doxorubicin and etoposide. Cancer Res. 55(19):4293-6 (1995).
- 30 13. Sasada, T. y col. Redox control of resistance to cis-diamminedichloroplatinum (II) (CDDP): protective effect of human thioredoxin against CDDP-induced cytotoxicity. J Clin Invest. 97(10):2268-76 (1996).
 - 14. Powis, G. y Kirkpatrick, DL. Thioredoxin signaling as a target for cancer therapy. Curr Opin Pharmacol. 7(4):392-7 (2007).
- 15. Butler, LM. y col. The histone deacetylase inhibitor SAHA arrests cancer cell growth, up-regulates thioredoxin-35 binding protein-2, and down-regulates thioredoxin. Proc Natl Acad Sci U S A. 99(18):11700-5 (2002).
 - 16. Luo, J. Deacetylation of p53 modulates its effect on cell growth and apoptosis. Nature. 408(6810):377-81 (2000).
 - 17. Ito, A. y col. MDM2-HDAC1-mediated deacetylation of p53 is required for its degradation. EMBO J. 21 (22):6236-45 (2002).
- 18. Insinga, A. y col. Impairment of p53 acetylation, stability and function by an oncogenic transcription factor. EMBO 40 J. 23(5):1144-54 (2004).
 - 19. Shimono, Y. y col. Mi-2 beta associates with BRG1 and RET finger protein at the distinct regions with transcriptional activating and repressing abilities. J Biol Chem. 278(51):51638-45 (2003).
 - 20. Shimono, Y. y col. RET finger protein is a transcriptional repressor and interacts with enhancer of polycomb that has dual transcriptional functions. J Biol Chem. 275(50):39411-9 (2000).
- 45 21. Nishiyama, A. y col. Identification of thioredoxin-binding protein-2/vitamin D(3) up-regulated protein 1 as a negative regulator of thioredoxin function and expression. J Biol Chem. 274(31):21645-50 (1999).

- 22. Wang, Y, De Keulenaer, GW. y Lee, RT. Vitamin D(3)-up-regulated protein-1 is a stress-responsive gene that regulates cardiomyocyte viability through interaction with thioredoxin. J Biol Chem. 277(29):26496-500 (2002).
- 23. Baker, AF. y col. Identification of thioredoxin-interacting protein I as a hypoxia-inducible factor 1 alpha-induced gene in pancreatic cancer. Pancreas. 36(2):178-86. (2008).
- 5 24. Cao, T., Borden, KL., Freemont, PS. y Etkin, LD. Involvement of the rfp tripartite motif in protein-protein interactions and subcellular distribution. J Cell Sci. 110 (Pt 14):1563-71 (1997).
 - 25. Li, X. y col. Unique features of TRIM5alpha among closely related human TRIM family members. Virology. 360(2):419-33 (2007).
- 26. Kelly, WK., O'Connor, OA. y Marks, PA. Histone deacetylase inhibitors: from target to clinical trials. Expert Opin 10 Investig Drugs. 11(12):1695-713 (2002).
 - 27. Tezel, G. y col. M. Different nuclear/cytoplasmic distributions of RET finger protein in different cell types. Pathol Int. 49(10):881-6 (1999)
 - 28. Shimono, K. y col. Microspherule protein 1, Mi-2beta, and RET finger protein associate in the nucleolus and upregulate ribosomal gene transcription. J Biol Chem. 280(47):39436-47 (2005)
- 15 LISTADO DE SECUENCIAS

[0076]

- <110> NATIONAL UNIVERSITY CORPORATION NAGOYA UNIVERSITY TAKAHASHI, Masahide KATO, Takuya KIKKAWA, Fumitaka
- <120> AGENTES PARA POTENCIAR EL FECTO DE FÁRMACOS ANTINEOPLÁSICOS Y USOS DE LOS MISMOS
- 20 <130> P08079P
 - <150> JP P2008-223461
 - <151> 01/09/2008
 - <160> 18
 - <170> PatentIn versión 3.5
- 25 <210> 1
 - <211> 2.969
 - <212> ADN
 - <213> Homo sapiens
 - <400> 1

gggtttacgc	tgccgccggc	atccgctcgg	acgcggccac	gttgtcttgc	gcgctttgcc	60
cgcctggccc	tgggactctg	accetegget	accetttect	gccccactag	cgtggccgcg	120
agcctcggtg	agceggeegt	attcccgctc	tcgcttaggg	ggcacaggcg	caggcatcgg	180
cccggccact	ccaageette	ggtgcgcggg	cgcgtctggg	atacgggccc	gggaggcgcc	240
gccctccgtc	cgcccggtgc	ctctcaggaa	cagcgaaccg	gagagagcgc	cggagagttg	300
ggctcagtgc	agagetegge	gccggggccc	atgcccgtgc	geoccegeag	gccggcgcca	360
tggcctccgg	gagtgtggcc	gagtgcctgc	agcaggagac	cacctgcccc	gtgtgcctgc	420
agtacttcgc	agageceatg	atgctcgact	gcggccataa	catctgttgc	gcgtgcctcg	480
cccgctgctg	gggcacggca	gagactaacg	tgtcgtgccc	gcagtgccgg	gagacettee	540
cgcagaggca	catgcggccc	aaccggcacc	tggccaacgt	gacccaactg	gtaaagcagc	600
tgcgcaccga	gcggccgtcg	gggcccggcg	gcgagatggg	cgtgtgcgag	aagcaccgcg	660
agcccctgaa	gctgtactgc	gaggaggacc	agatgcccat	ctgcgtggtg	tgcgaccgct	720
cccgcgagca	ccgcggccac	agcgtgctgc	cgctcgagga	ggcggtggag	ggcttcaagg	780
agcaaatcca	gaaccagete	gaccatttaa	aaagagtgaa	agatttaaag	aagagacgtc	840
gggcccaggg	ggaacaggca	cgagctgaac	tcttgagcct	aacccagatg	gagagggaga	900
agattgtttg	ggagtttgag	cagctgtatc	actecttaaa	ggagcatgag	tategeetee	960
tggcccgcct	tgaggagcta	gacttggcca	tctacaatag	catcaatggt	gccatcaccc	1020
agttctcttg	caacatctcc	cacctcagca	gcctgatcgc	tcagctagaa	gagaagcagc	1080

agcagcccac	cagggagete	ctgcaggaca	ttggggacac	attgagcagg	gctgaaagaa	1140
tcaggattcc	tgaaccttgg	atcacacctc	cagatttgca	agagaaaatc	cacatttttg	1200
cccaaaaatg	totattottg	acggagagtc	taaagcagtt	cacagaaaaa	atgcagtcag	1260
atatggagaa	aatccaagaa	ttaagagagg	ctcagttata	ctcagtggac	gtgactctgg	1320
acccagacac	ggcctacccc	agcctgatcc	tctctgataa	tctgcggcaa	gtgcggtaca	1380
gttacctcca	acaggacctg	cctgacaacc	ccgagaggtt	caatctgttt	ccctgtgtct	1440
tgggctctcc	atgcttcatc	gccgggagac	attattggga	ggtagaggtg	ggagataaag	1500
ccaagtggac	cataggtgtc	tgtgaagact	cagtgtgcag	aaaaggtgga	gtaacctcag	1560
cccccagaa	tggattctgg	gcagtgtctt	tgtggtatgg	gaaagaatat	tgggctctta	1620
cctccccaat	gactgcccta	cccctgcgga	ccccgctcca	gcgggtgggg	attttcttgg	1680
actatgatgc	tggtgaggtc	tecttetaca	acgtgacaga	gaggtgtcac	accttcactt	1740
tototoatgo	taccttttgt	gggcctgtcc	ggecetaett	cagtctgagt	tactcgggag	1800
ggaaaagtgc	agetectetg	ateatetgee	ccatgagtgg	gatagatggg	ttttctggcc	1860
atgttgggaa	tcatggtcat	tccatggaga	cctccccttg	aggaggtgaa	ttcaggccaa	1920
aagggctgtt	ggctgtaatc	ctacgccagg	cacaaggcat	cttgttgcct	tgccacgtcc	1980
tgtcacagct	gggtatcctt	accatgttcc	acgcccttgc	agtgggagac	aggatgtcca	2040
tgttctctac	catcetttte	cttcccatgc	agattgtgaa	atgtaatgag	atgtatcaag	2100
atateetaga	aataaaaacc	agatgtccac	ctccagtgtt	teatacttte	tggttttaca	2160
catcgctgga	gggataaaga	gtalggataa	tctttggatt	tggagagccg	ttcaagatac	2220
ttccagcttc	ttggctcagc	ctggcttcct	ctggttcagc	cccacataat	gattatggct	2280
atttgctgtc	atttctgggc	tagggctcct	ttctaacaac	ctagactgga	ataaggccct	2340
gtcagcatgg	ctccctttat	cccagttttc	cgtctgggaa	cagtacctct	gcccctgatt	2400
cccaatgtgc	catagtttta	ttaactccat	taaagaagcc	tgtatgtgtt	ttggttagtt	2460
acagttattt	tacaataatg	gtgggtaatg	gececacete	tgttatgaga	taatgttcta	2520
atcaatgtct	ctgcctttgt	atcttttctg	agggctttgt	ctgttctctt	cattctaatg	2580
aaaggtgtat	tctagtgctg	ggtgcatatc	atccaggata	atattctgcc	caactccatc	2640
ctctgttact	agatecetta	ccagtcacat	ttgtggactg	gtggccagtc	gtataccatc	2700
cctggaagga	ttctgggaca	atattccagg	gattcattga	cttcttggct	ccttttctcc	2760
atttoctttg	ggggaagggg	gaattgacca	tgcttaagtg	catectatea	aggggcagct	2820
cegtecceat	ggccattgga	tcatgagaca	ctctgaagtc	agaaggctgg	ggcagatcac	2880
ttcaagcaag	ccccatgat	ggttctcagt	cctgcttctc	tgtgggtacg	tgcccctctg	2940

tttaaaaata aactgaatat ggatgttta

2969

<210> 2

<211> 1.542

<212> ADN

5 <213> Homo sapiens

<400> 2

atggcctccg	ggagtgtggc	cgagtgcctg	cagcaggaga	ccacctgccc	cgtgtgcctg	60
cagtacttcg	cagageceat	gatgetegae	tgcggccata	acatctgttg	cgcgtgcctc	120
gcccgctgct	ggggcacggc	agagactaac	gtgtcgtgcc	cgcagtgccg	ggagaccttc	180
ccgcagaggc	acatgcggcc	caaccggcac	ctggccaacg	tgacccaact	ggtaaagcag	240
ctgcgcaccg	ageggeegte	ggggcccggc	ggcgagatgg	gcgtgtgcga	gaagcaccgc	300
gagcccctga	agctgtactg	cgaggaggac	cagatgccca	tctgcgtggt	gtgcgaccgc	360
tecegegage	accgcggcca	cagcgtgctg	cegetegagg	aggeggtgga	gggcttcaag	420
gagcaaatcc	agaaccagct	cgaccattta	aaaagagtga	aagatttaaa	gaagagacgt	480
cgggcccagg	gggaacaggc	acgagctgaa	ctcttgagcc	taacccagat	ggagagggag	540
aagattgttt	gggagtttga	gcagctgtat	cacteettaa	aggagcatga	gtatcgcctc	600
ctggcccgcc	ttgaggagct	agacttggcc	atctacaata	gcatcaatgg	tgccatcacc	660
cagttetett	gcaacatctc	ccacctcage	agcctgatcg	ctcagctaga	agagaagcag	720
cagcagecea	ccagggagct	cctgcaggac	attggggaca	cattgagcag	ggctgaaaga	780
atcaggattc	ctgaaccttg	gatcacacct	ccagatttgc	aagagaaaat	ccacattttt	840
gcccaaaaat	gtctattctt	gacggagagt	ctaaagcagt	tcacagaaaa	aatgcagtca	900
gatatggaga	aaatccaaga	attaagagag	gctcagttat	actcagtgga	cgtgactctg	960
gacccagaca	cggcctaccc	cagcctgatc	ctctctgata	atctgcggca	agtgcggtac	1020
agttacctcc	aacaggacct	gcctgacaac	cccgagaggt	tcaatctgtt	tccctgtgtc	1080
ttgggctctc	catgcttcat	cgccgggaga	cattattggg	aggtagaggt	gggagataaa	1140
gccaagtgga	ccataggtgt	ctgtgaagac	tcagtgtgca	gaaaaggtgg	agtaacctca	1200
gcccccaga	atggattctg	ggcagtgtct	ttgtggtatg	ggaaagaata	ttgggctctt	1260
acctccccaa	tgactgccct	acccctgcgg	accccgctcc	agcgggtggg	gattttcttg	1320
gactatgatg	ctggtgaggt	ctccttctac	aacgtgacag	agaggtgtca	caccttcact	1380
ttctctcatg	ctaccttttg	tgggcctgtc	cggccctact	tcagtctgag	ttactcggga	1440
gggaaaagtg	cagctcctct	gatcatctgc	cccatgagtg	ggatagatgg	gttttctggc	1500
catgttggga	atcatggtca	ttccatggag	acctcccctt	ga		1542

<210> 3

<211> 513

<212> PROT

5 <213> Homo sapiens

<400> 3

Met 1	Ala	Ser	G1y	Ser 5	Val	Ala	Glu	Cys	Leu 10	Gln	Gln	Glu	Thr	Thr 15	Cys
Pro	Val	Cys	Leu 20	Gln	Tyr	Phe	Ala	Glu 25	Pro	Met	Met	Leu	Asp 30	Cys	Gly
His	Asn	Ile 35	Cys	Cys	Ala	Cys	Leu 40	Ala	Arg	Cys	Trp	Gly 45	Thr	Ala	Glu
Thr	Asn 50	Val	Ser	Сув	Pro	Gln 55	Суз	Arg	Glu	Thr	Phe 60	Pro	Gln	Arg	His
Met 65	Arg	Pro	Asn	Arg	His 70	Leu	Ala	Asn	Val	Thr 75	Gln	Leu	Val	Lys	Gln 80
Leu	Arg	Thr	Glu	Arg 85	Pro	Ser	Gly	Pro	Gly 90	G1y	Glu	Met	Gly	Val 95	Cys
Glu	Lys	His	Arg 100	Glu	Pro	Leu	Lys	Leu 105	Tyr	Cys	Glu	Glu	Asp 110	Gln	Met
Pro	Ile	Cys 115	Val	Val	Суѕ	Asp	Arg 120	Ser	Arg	Glu	His	Arg 125	Gly	His	Ser
Val	Leu 130	Pro	Leu	Glu	Glu	Ala 135	Val	Glu	Gly	Phe	Lys 140	Glu	Gln	Ile	Gln
Asn 145	Gln	Leu	Asp	His	Leu 150	Lys	Arg	Val	Lys	Asp 155	Leu	Lys	Lys	Arg	Arg 160
Arg	Ala	Gln	Gly	G1u 165	Gln	Ala	Arg	Ala	Glu 170	Leu	Leu	Ser	Leu	Thr 175	Gln
Met	Glu	Arg	Glu 180	Lys	Ile	Val	Trp	Glu 185	Phe	Glu	Gln	Leu	Tyr 190	His	Ser
Leu	Lys	Glu 195	His	Glu	Tyr	Arg	Leu 200	Leu	Ala	Arg	Leu	Glu 205		Leu	Asp

Leu	Ala 210	Ile	Tyr	Asn	Ser	11e 215	Asn	Gly	Ala	Ile	Thr 220	Gln	Phe	Ser	Суз
Asn 225	Ile	Ser	His	Leu	Ser 230	Ser	Leu	Ile	Ala	G1n 235	Leu	Glu	Glu	Lys	G1n 240
G ln	Gln	Pro	Thr	Arg 245	Glu	Leu	Leu	Gln	Asp 250	Ile	Gly	Asp	Thr	Leu 255	Ser
Arg	Ala	Glu	Arg 260	Ile	Arg	Ile	Pro	Glu 265	Pro	Trp	Ile	Thr	Pro 270	Pro	Asp
Leu	Gln	Glu 275	Lys	Ile	His	Ile	Phe 280	Ala	Gln	Lys	Суз	Leu 285	Phe	Leu	Thr
Glu	Ser 290	Leu	Lys	Gln	Phe	Thr 295	Glu	Lys	Met	Gln	Ser 300	Asp	Met	Glu	Lys
Ile 305	Gln	Glu	Leu	Arg	Glu 310	Ala	Gln	Leu	Tyr	Ser 315	Val	Asp	Val	Thr	Leu 320
Asp	Pro	Asp	Thr	Ala 325	Tyr	Pro	Ser	Leu	Ile 330	Leu	Ser	Asp	Asn	Leu 335	Arg
Gln	Val	Arg	Tyr 340	Ser	Tyr	Leu	Gln	Gln 345	Asp	Leu	Pro	Asp	Asn 350	Pro	Glu
Arg	Phe	Asn 355	Leu	Phe	Pro	Суз	Val 360	Leu	Gly	Ser	Pro	Cys 365	Phe	Ile	Ala
Gly	Arg 370	His	Tyr	Trp	Glu	Val 375	Glu	Val	Gly	Asp	Lys 380	Ala	Lys	Trp	Thr
Ile 385	Gly	Val	Суз	Glu	Asp 390	Ser	Val	Cys	Arg	Lys 395	Gly	Gly	Val	Thr	Ser 400
Ala	Pro	Gln	Asn	Gly 405	Phe	Trp	Ala	Val	Ser 410	Leu	Trp	Tyr	Gly	Lys 415	Glu
Tyr	Trp	Ala	Leu 420	Thr	Ser	Pro	Met	Thr 425	Ala	Leu	Pro	Leu	Arg 430	Thr	Pro
Leu	Gln	Arg 435	Val	Gly	Ile	Phe	Leu 440	Asp	Tyr	Asp		Gly 445	Glu	Val	Ser
Phe	Tyr	Asn	Val	Thr	Glu	Arm	0:10	Hie	Thr	Phe	Thr	Phe	Ser	His	Ala

460

455

450

Thr Phe Cys Gly Pro Val Arg Pro Tyr Phe Ser Leu Ser Tyr Ser Gly 465 470 475 480 Gly Lys Ser Ala Ala Pro Leu Ile Ile Cys Pro Met Ser Gly Ile Asp 485 490 495 Gly Phe Ser Gly His Val Gly Asn His Gly His Ser Met Glu Thr Ser 500 505 510 Pro <210> 4 <211> 19 <212> ARN 5 <213> Secuencia artificial <220> <223> ARNip diseñado para inhibir la expresión del gen de RFP <400> 4 gaguuacucg ggagggaaa 19 10 <210>5 <211> 21 <212> ARN <213> Secuencia artificial <220> 15 <223> ARNip diseñado para inhibir la expresión del gen de RFP <400> 5 aacucuuagg ccuaacccag a 21 <210>6 <211> 21 20 <212> ARN <213> Secuencia artificial <223> ARNip diseñado para inhibir la expresión del gen de RFP <400>6 aagagaggcu caguuauacu c 21 25 <210> 7

```
<211> 19
   <212> ARN
   <213> Secuencia artificial
   <220>
 5 <223> ARNip diseñado para inhibir la expresión del gen de RFP
   <400> 7
    cccuaugagu gggauugau
                               19
   <210>8
   <211> 19
10 <212> ARN
   <213> Secuencia artificial
   <220>
   <223> ARNip diseñado para inhibir la expresión del gen de RFP
   <400> 8
   gacucagugu gcagaaaag
                                19
15
   <210>9
   <211> 18
   <212> ARN
   <213> Secuencia artificial
20 <220>
   <223> ARNip diseñado para inhibir la expresión del gen de RFP
   <400> 9
    agaaccagcu cgaccauu
                              18
   <210> 10
25 <211> 62
   <212> ADN
   <213> Secuencia artificial
   <220>
   <223> ADN que codifica RFPhc diseñado para inhibir la expresión del gen de RFP
30 <400> 10
     gatcgagtta ctcgggaggg aaattcaaga gatttccctc ccgagtaact cttttttgga
                                                                                                     60
                                                                                                     62
     aa
   <210> 11
   <211> 21
   <212> ADN
```

```
<213> Secuencia artificial
   <220>
   <223> cebador específico para HDAC1
   <400> 11
                             21
   ctcctgtttt tttcaggctc c
   <210> 12
   <211> 21
   <212> ADN
   <213> Secuencia artificial
10 <220>
   <223> cebador específico para HDAC1
   <400> 12
    aggagaagac agacagaggg c
                                   21
   <210> 13
15 <211> 20
   <212> ADN
   <213> Secuencia artificial
   <220>
   <223> cebador específico para RFP
20 <400> 13
                               20
    tgctcgactg cggccataac
   <210> 14
   <211> 20
   <212> ADN
25 <213> Secuencia artificial
   <220>
   <223> cebador específico para RFP
   <400> 14
                              20
    toggtgcgca gctgctttac
30 <210> 15
   <211> 21
   <212> ADN
   <213> Secuencia artificial
   <220>
35 <223> cebador específico para TBP-2
```

	<400> 15	
	tgagatggtg atcatgagac c	21
	<210> 16	
	<211> 21	
5	<212> ADN	
	<213> Secuencia artificial	
	<220>	
	<223> cebador específico para	TBP-2
	<400> 16	
10	gtattgacat ccaccagatc c	21
	<210> 17	
	<211> 21	
	<212> ADN	
	<213> Secuencia artificial	
15	<220>	
	<223> cebador específico para	GAPDH
	<400> 17	
	gaaggtgaag gtoggagtca a	21
	<210> 18	
20	<211> 22	
	<212> ADN	
	<213> Secuencia artificial	
	<220>	
	<223> cebador específico para	GAPDH
25	<400> 18	
	gagatgatga cccttttggctc	22

REIVINDICACIONES

- 1. Un procedimiento para estimar el pronóstico en un paciente con carcinoma de colon, en el que se usa el nivel de expresión de RFP (*RET finger protein*) en una célula cancerosa aislada de un paciente con cáncer como indicador y en el que además, un nivel de expresión de RFP alto indica un pronóstico desfavorable.
- 5 2. Uso de un anticuerpo anti-RFP en el procedimiento de la reivindicación 1.

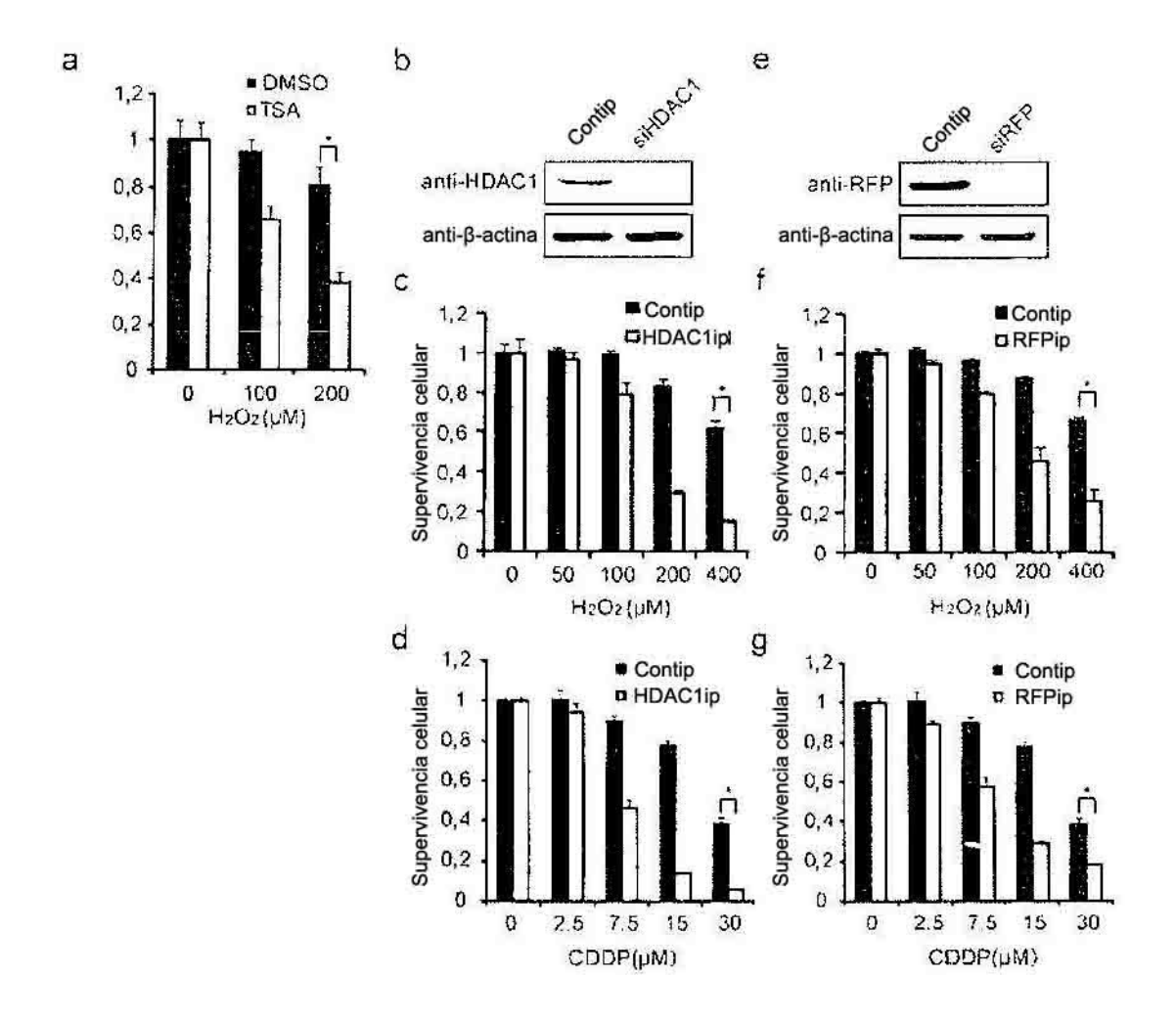


Fig. 1

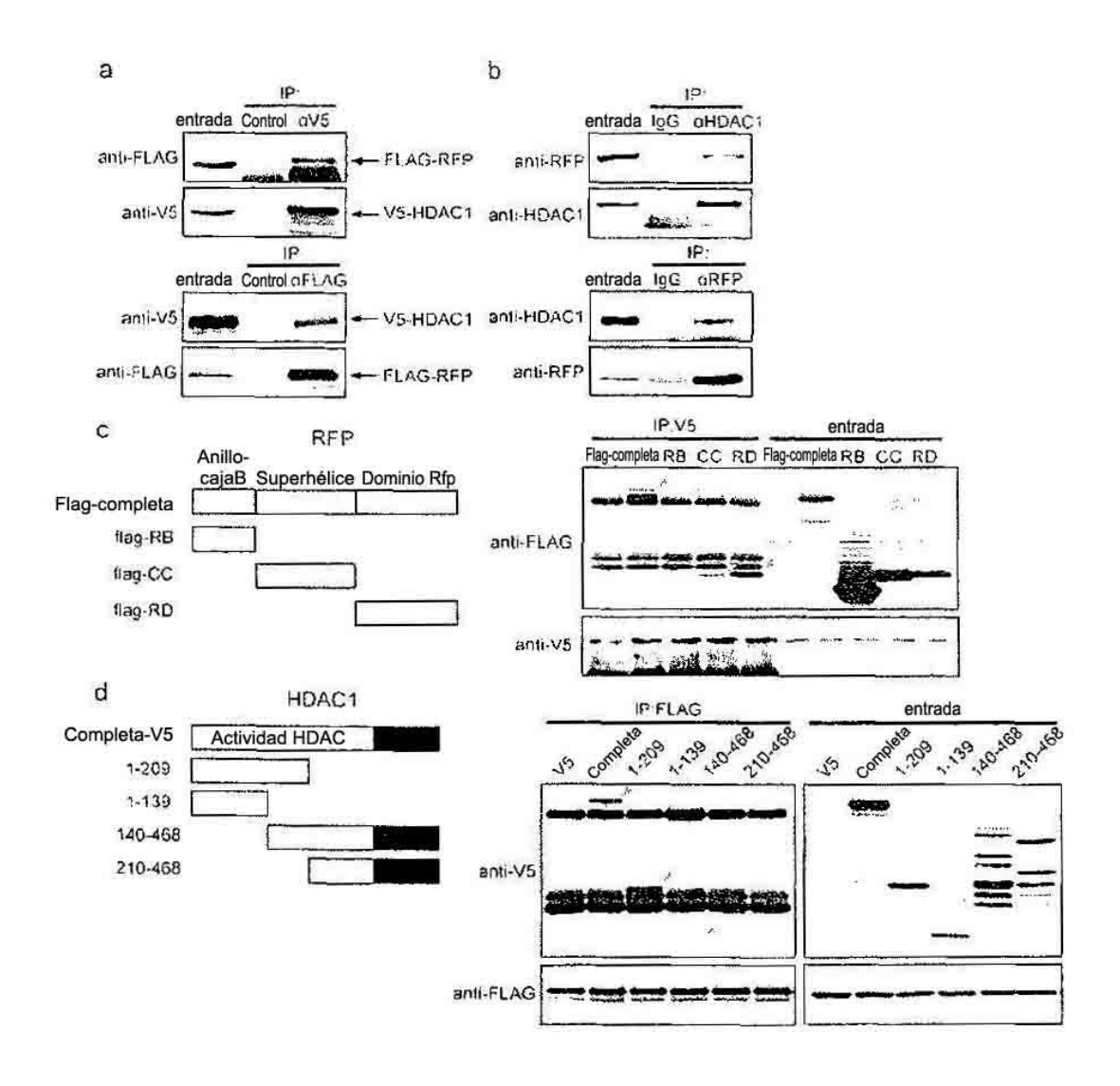


Fig. 2

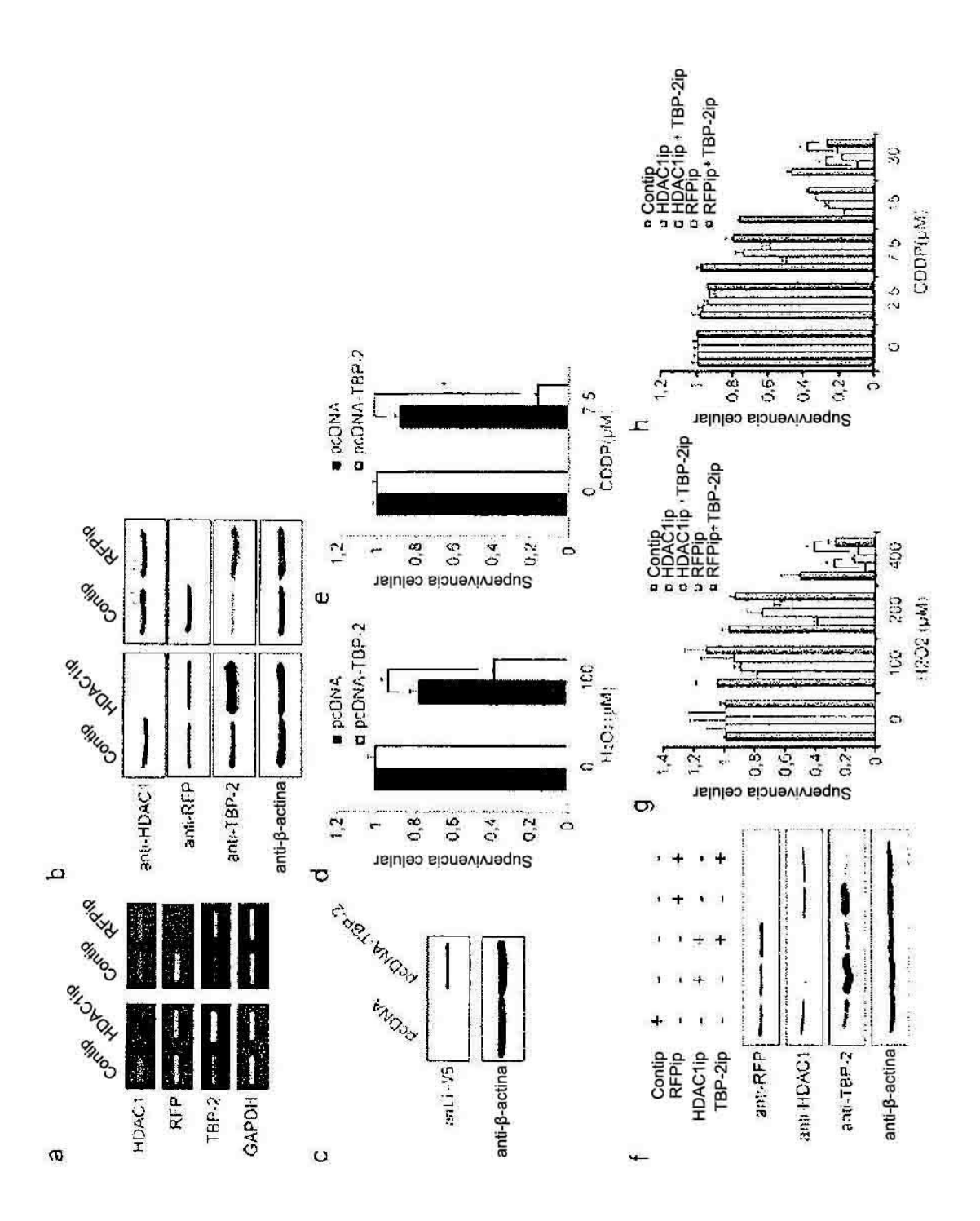


Fig. 3

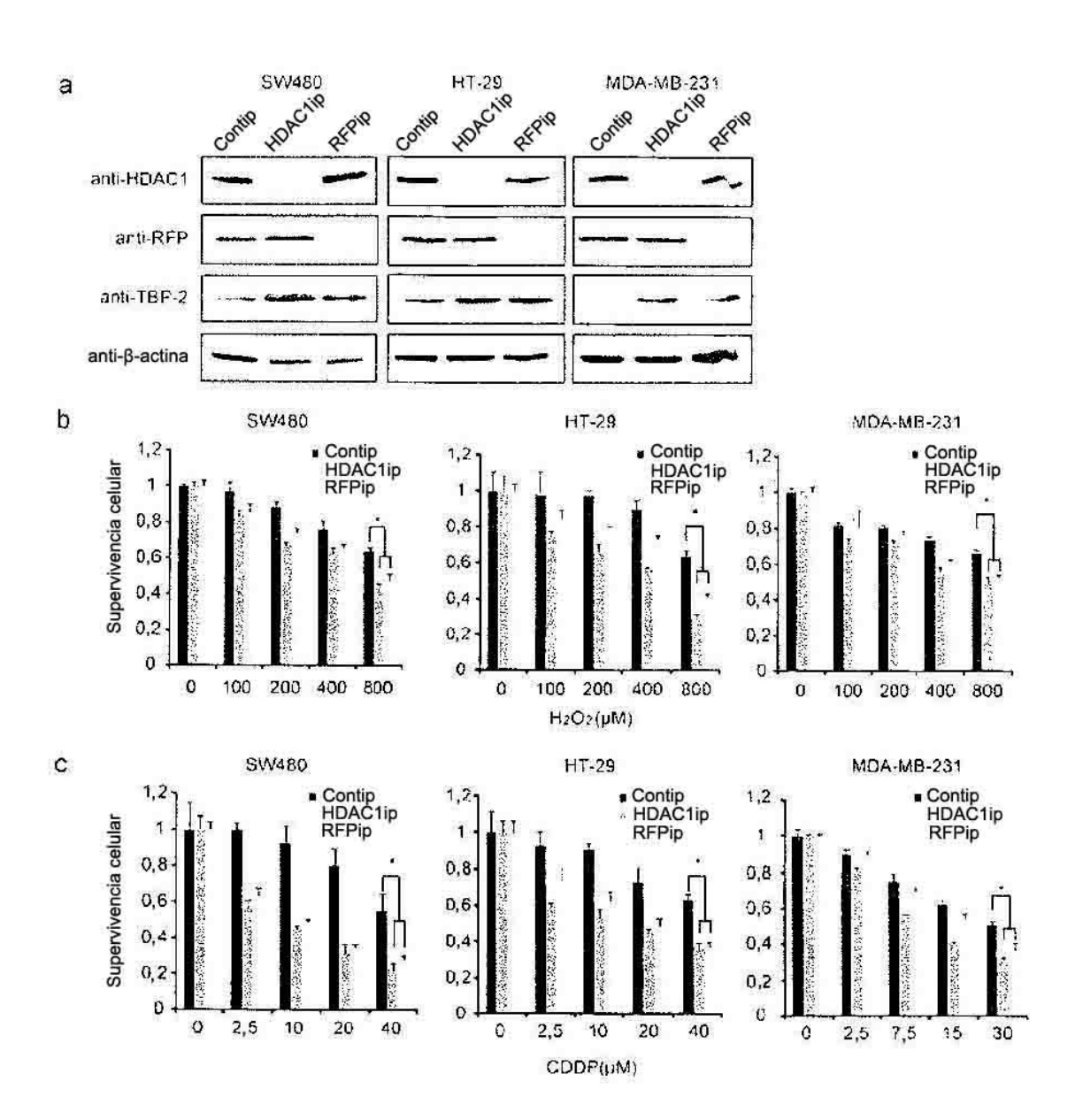
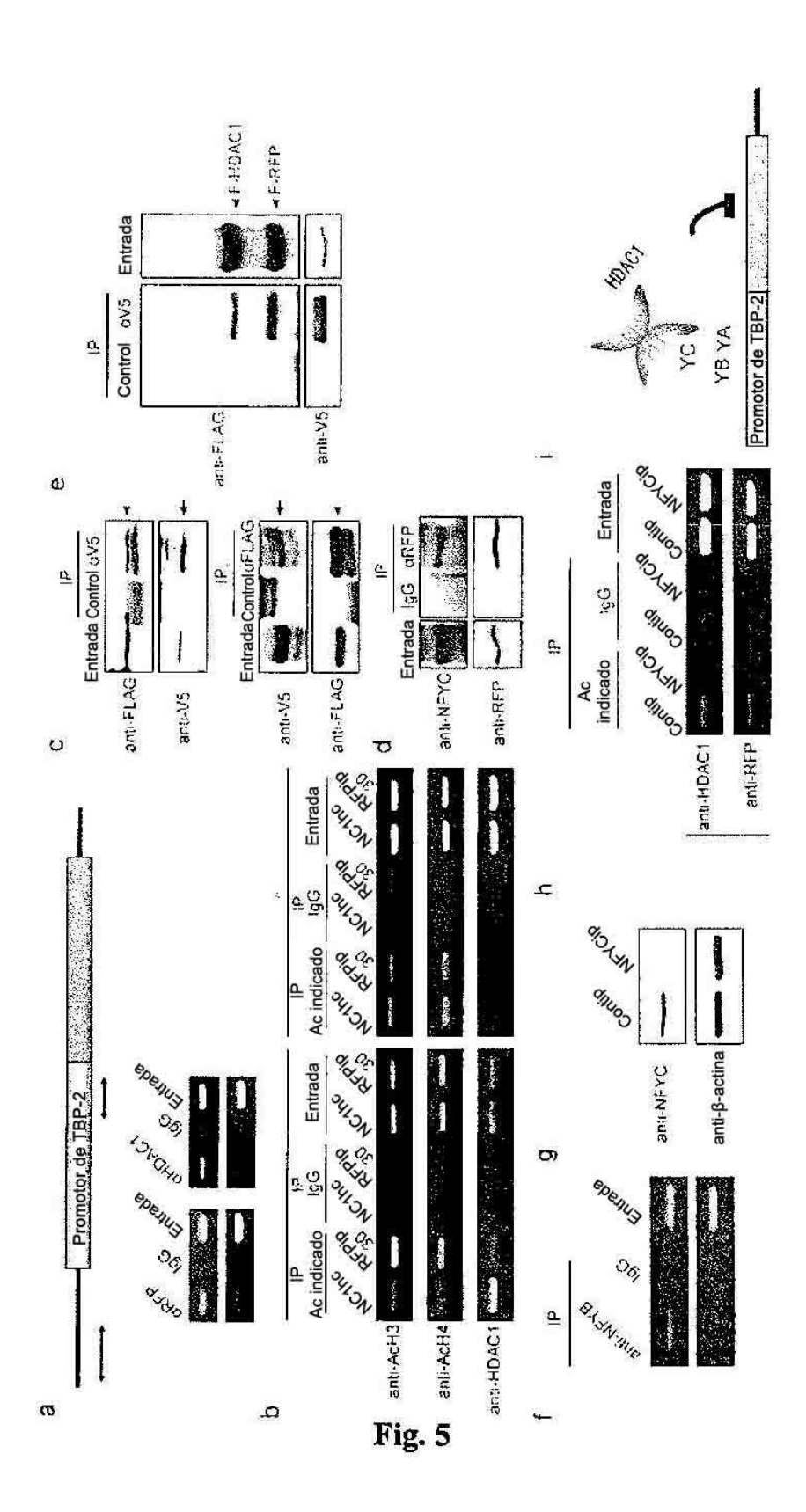


Fig. 4



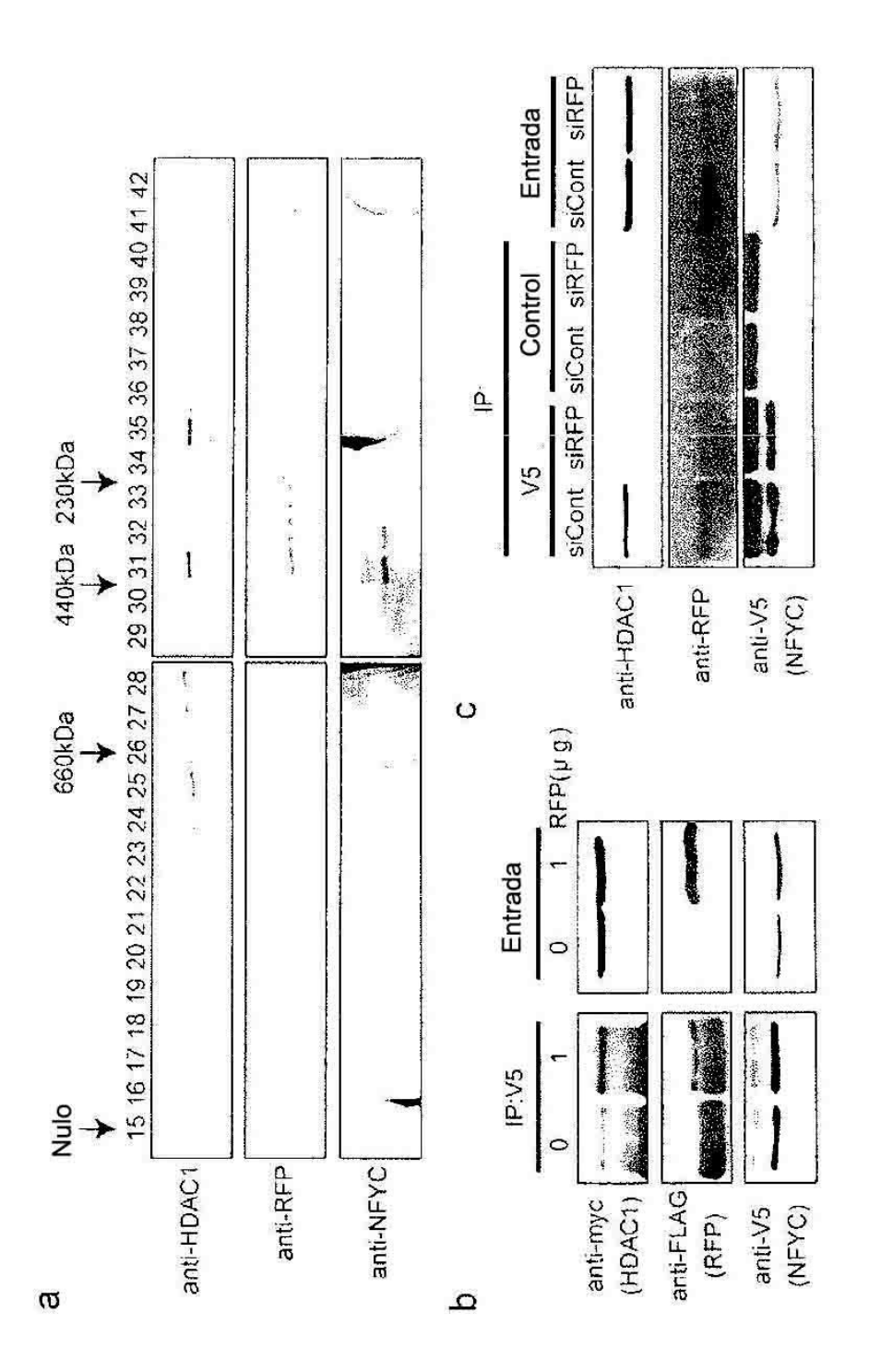


Fig. 6

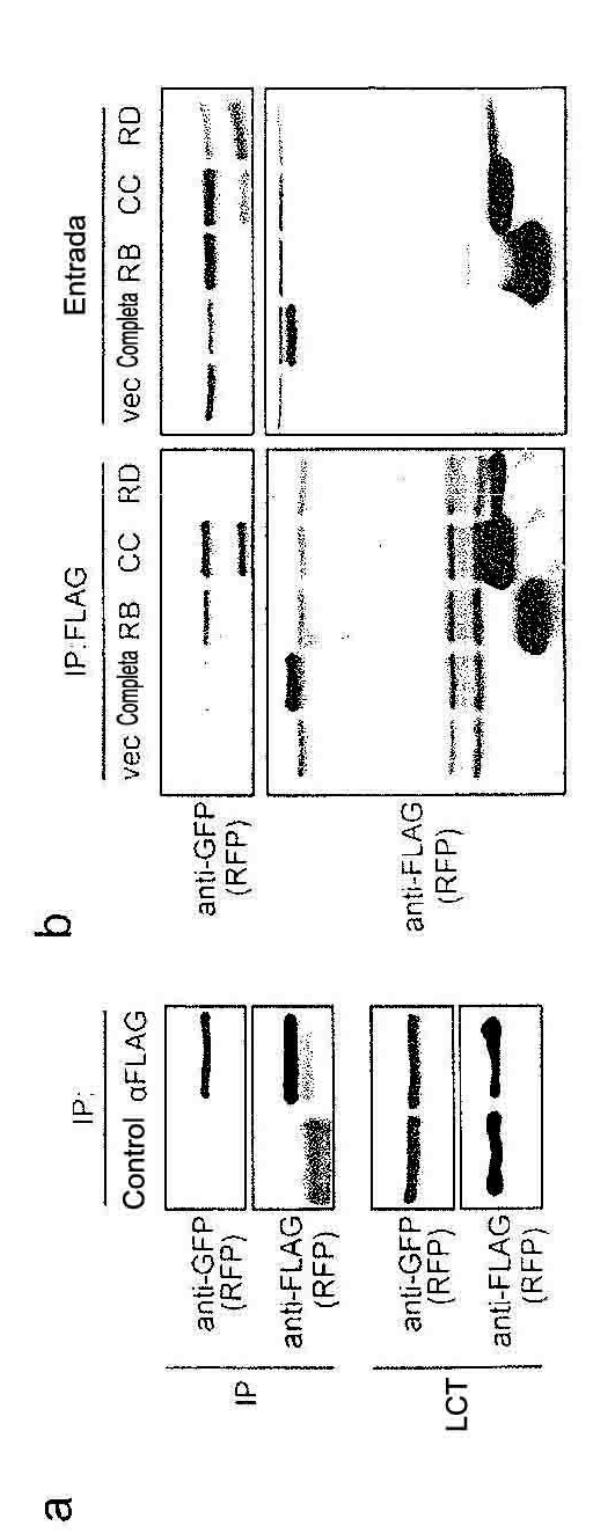


Fig. 7

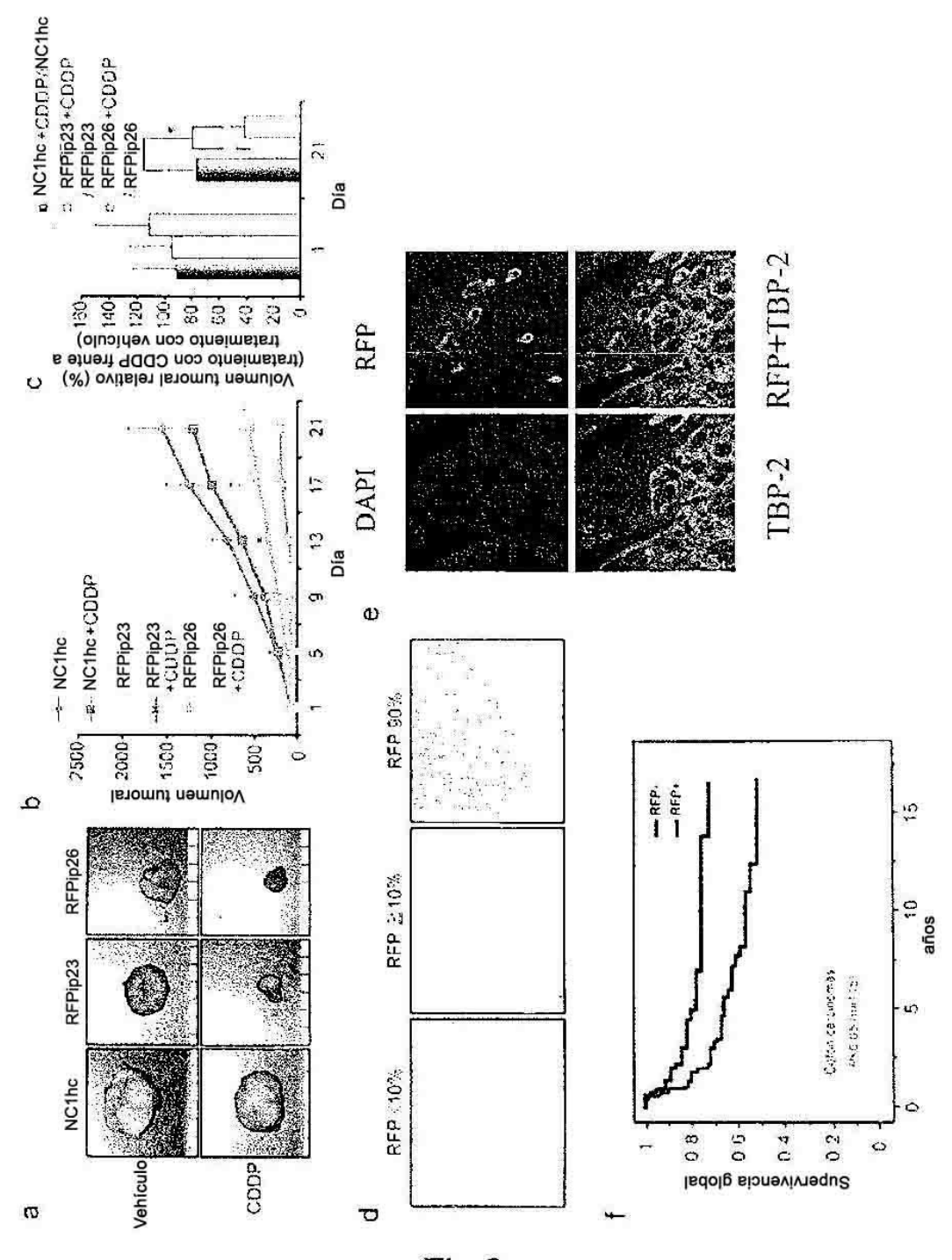


Fig. 8

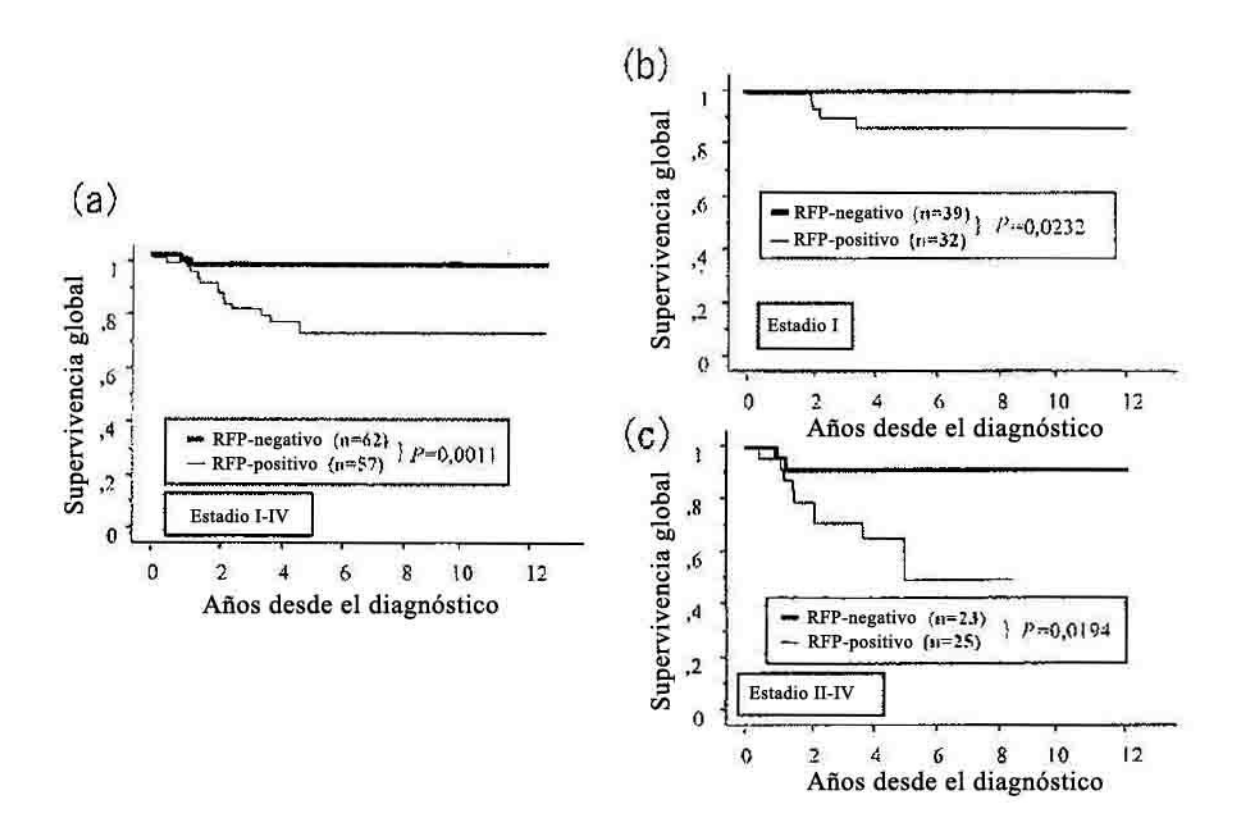


Fig. 9

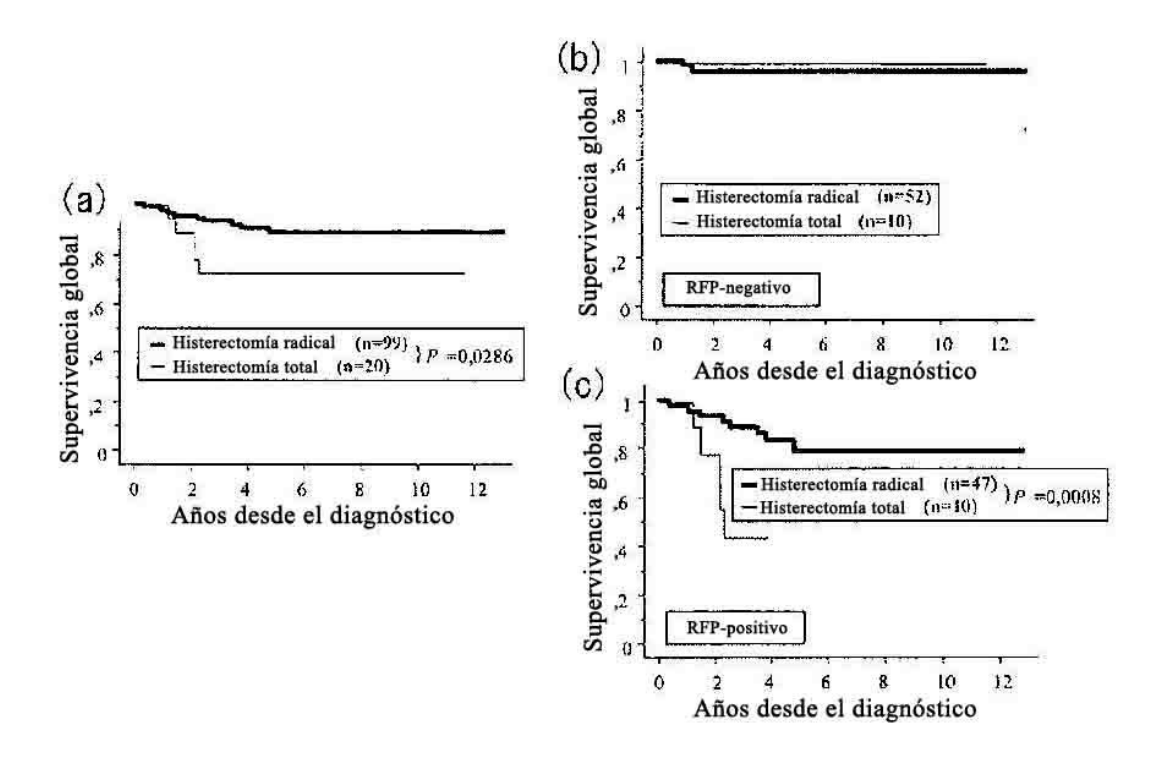


Fig. 10

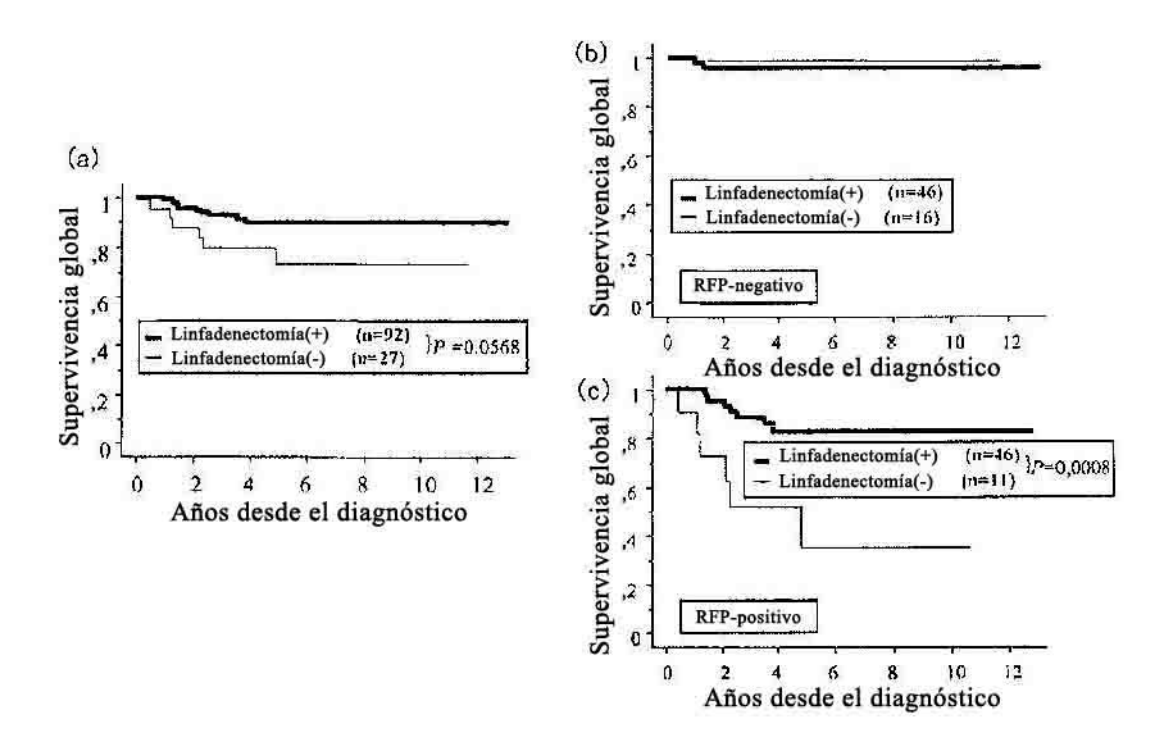


Fig. 11 (corregida)

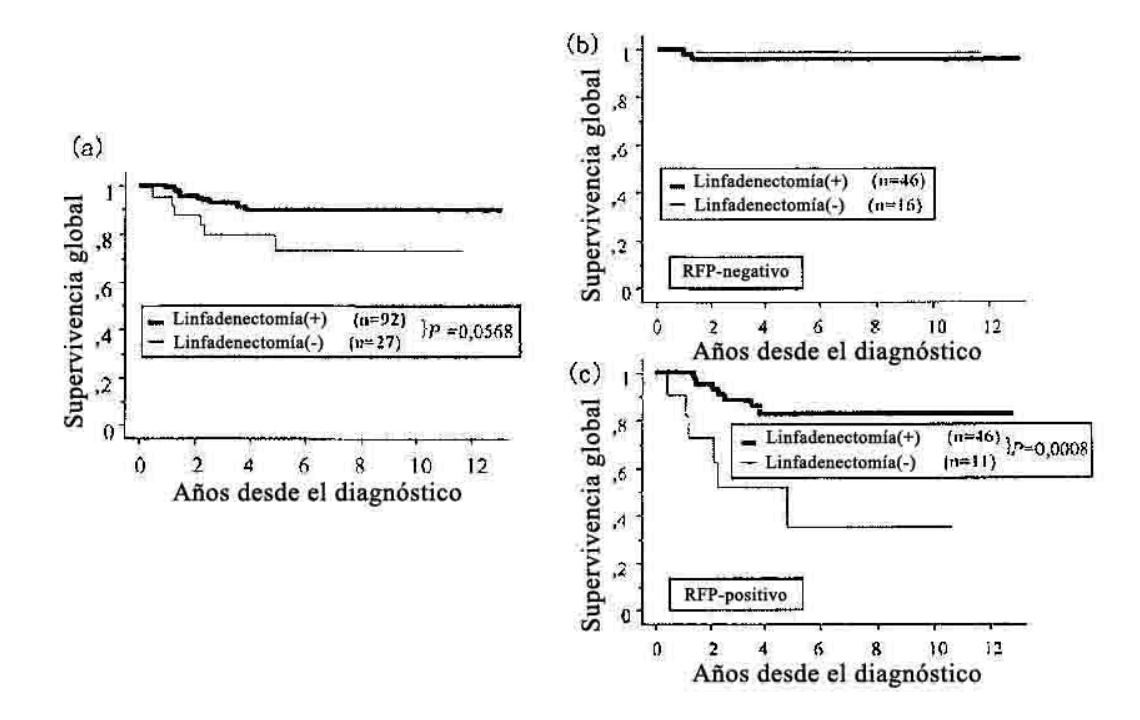


Fig. 11 (corregida)